

5. Bapak Ir. Akhmad Marzuko, M.T. selaku Dosen Pengaji Tugas Akhir.
6. Teman-teman yang telah membantu baik secara langsung maupun tidak langsung hingga terselesaikannya Tugas Akhir ini.

Semoga segala amal kebaikannya mendapatkan pahala dari Allah SWT. Amiiin.

Walaupun segenap kemampuan telah penyusun tuangkan dalam tulisan Tugas Akhir ini, tetapi penyusun menyadari keterbatasan yang ada, sehingga ada kekurangan-kekurangan yang terjadi pada tulisan ini. Segala saran dan kritik demi kebaikan dari pembaca sangat diharapkan demi lebih sempurnanya tulisan Tugas Akhir berikutnya.

Akhir kata mudah-mudahan Tugas Akhir ini dapat bermanfaat khususnya bagi penyusun sendiri dan bagi semua pihak yang membutuhkan pada umumnya.

Wassalaamu'alaikum Wr. Wb.

Yogyakarta, Juli 2003

Penyusun

DAFTAR ISI

HALAMAN JUDUL	i
HALAMAN PENGESAHAN	ii
KATA PENGANTAR	iii
DAFTAR ISI	v
DAFTAR TABEL	viii
DAFTAR GAMBAR	xii
DAFTAR GRAFIK	xii
DAFTAR LAMPIRAN	xiii
ABSTRAK	xiv
BAB I PENDAHULUAN	1
1.1 Latar Belakang	1
1.2 Rumusan Masalah	2
1.3 Tujuan Penelitian.....	3
1.4 Manfaat Penelitian.....	3
1.5 Keaslian Penelitian.....	3
1.6 Data Penelitian	4
1.7 Batasan Masalah.....	5
BAB II TINJAUAN PUSTAKA	7
2.1 Penelitian Ratih Wijayanti dan Maryanto (2000).....	7
2.2 Penelitian Abdul Haris E. dan Hanis W. (1997)	7

Kemiringan 45^0	139
Gambar 5.9 Tampilan <i>Input</i> Data Sudut Kemiringan 60^0	140
Gambar 5.10 Tampilan <i>Output</i> Data untuk metode Fellinius Sudut Kemiringan 60^0	141
Gambar 5.11 Tampilan <i>Output</i> Data untuk metode Bishop Sudut Kemiringan 60^0	141
Gambar 5.12 Tampilan <i>Input</i> Data Sudut Kemiringan 75^0	142
Gambar 5.13 Tampilan <i>Output</i> Data untuk metode Fellinius Sudut Kemiringan 75^0	143
Gambar 5.14 Tampilan <i>Output</i> Data untuk metode Bishop Sudut Kemiringan 75^0	143

DAFTAR LAMPIRAN

- Lampiran 1 KARTU PESERTA TUGAS AKHIR
Lampiran 2 LAPORAN HASIL PENGUJIAN TANAH

1.3 Tujuan Penelitian

Tujuan utama penelitian ini adalah:

1. Menganalisis stabilitas lereng tanah pada galian pondasi pada Proyek Gedung Kampus D3 Ekonomi UII menggunakan metode Fellinius dengan variasi lebar pias dan variasi sudut kemiringan.
2. Menganalisis stabilitas lereng tanah pada galian pondasi pada Proyek Gedung Kampus D3 Ekonomi UII menggunakan metode Bishop dengan variasi lebar pias dan variasi sudut kemiringan.
3. Membandingkan hasil analisis stabilitas lereng metode Fellinius dengan metode Bishop.

1.4 Manfaat Penelitian

Diharapkan nantinya tugas akhir ini dapat menambah wawasan tentang perencanaan galian suatu proyek untuk pondasi, galian dan timbunan lereng untuk saluran irigasi, lereng untuk bendungan, lereng untuk jalan jereta api, jalan raya dan proyek-proyek yang lain dengan analisis stabilitas lereng. Penelitian ini juga diharapkan dapat menambah wawasan beberapa metode analisis stabilitas lereng, seperti metode Bishop yang disederhanakan dan metode Fellinius yang akhirnya dapat diterapkan atau dipraktekkan dilapangan.

Data lapisan tanah dapat dilihat pada tabel 1.1

Tabel 1.1 Data lapisan tanah (Sumber: Laporan Hasil Pengujian Tanah Proyek Pembangunan Gedung Kampus D3 Ekonomi UII, Laboratorium Mekanika Tanah, FTSP, UII, Yogyakarta, 2002)

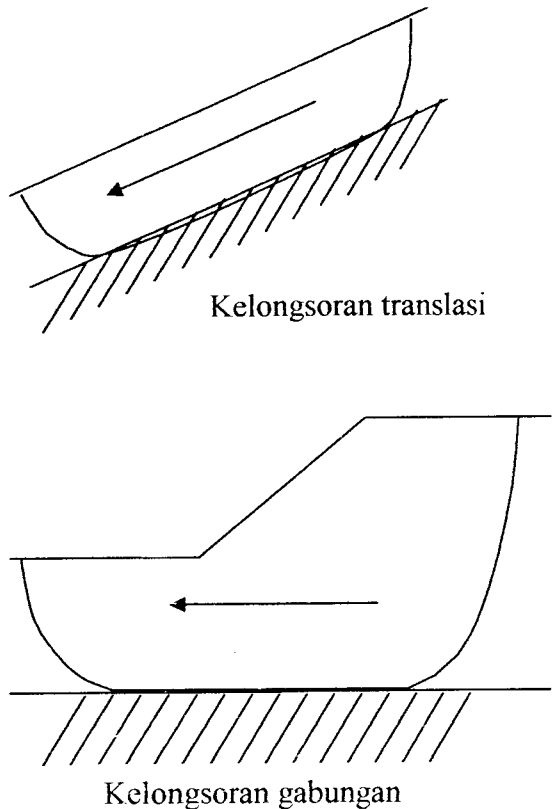
Lapisan (m)	Jenis tanah
0 – 1,4	Pasir berlanau lepas dengan tingkat kepadatan rendah
1,4 – 2,5	Pasir kasar berkerikil dengan kepadatan sedang
>2,5	Pasir sedang hingga kasar berkerikil padat

1.7 Batasan Masalah

Agar penelitian dapat terarah sesuai dengan maksud dan tujuan penelitian maka diperlukan batasan-batasan antara lain:

1. Lokasi penelitian adalah Proyek Pembangunan Gedung Kampus D3 Ekonomi UII.
2. Kedalaman galian tanah adalah ± 5 m dari muka tanah asli.
3. Penelitian hanya mengenai stabilitas lereng tanah.
4. Beban gempa tidak diperhitungkan.
5. Tekanan air pori tidak diperhitungkan.
6. Analisis Stabilitas Lereng pada penelitian ini menggunakan Metode Irisan yaitu Metode Fellinius dan Metode Bishop Yang Disederhanakan dengan penggunaan aplikasi program *Excel* dan program *Slope/W*, penggunaan aplikasi ini diharapkan dapat mempercepat hitungan karena banyaknya variasi lebar pias dan kemiringan sudut lereng yang akan dimasukkan dalam analisis stabilitas lereng ini.

7. Bidang longsor adalah berbentuk lingkaran dan lerengnya adalah lereng terbatas.
8. Variasi tebal pias, terbagi atas 6 pias, 8 pias, 10 pias, 12 pias dan 14 pias.
9. Variasi kemiringan lereng:
 - a. $\alpha_1 = 45^\circ$.
 - b. $\alpha_2 = 60^\circ$.
 - c. $\alpha_3 = 75^\circ$.
 - d. $\alpha_4 = 90^\circ$.



Gambar 3.1 Tipe-tipe keruntuhan lereng (Sumber: R. F. Craig, 1989)

KelongSORAN translasi (*translation slip*) dan kelongsoran gabungan (*compound slip*) terjadi bila bentuk permukaan runtuh dipengaruhi oleh adanya kekuatan geser yang berbeda pada lapisan tanah yang berbatasan. Kelongsoran translasi cenderung terjadi bila lapisan tanah yang berbatasan berada pada kedalaman yang relatif lebih dangkal di bawah permukaan lereng. Kelongsoran gabungan biasanya terjadi bila lapisan tanah yang berbatasan berada pada kedalaman yang lebih besar dan permukaan runtuhnya terdiri dari bagian – bagian lengkung dan bidang.

3.2 Tanah

3.2.1 Umum

Istilah tanah yang dimaksud dalam bidang mekanika tanah dimaksudkan adalah mencakup semua bahan/unsur tanah seperti lempung, pasir, kerikil, dan batu-batuan yang besar (L.D. Wesley, 1977).

Pembentukan tanah dari bahan induknya, dapat berupa proses fisik maupun kimia. Proses pembentukan tanah secara fisik yaitu proses yang mengubah batuan menjadi partikel-partikel yang lebih kecil yang terjadi akibat adanya pengaruh erosi, air, angin, manusia atau hancurnya partikel tanah akibat perubahan suhu atau cuaca. Sedangkan pelapukan akibat proses kimia dapat terjadi oleh pengaruh oksigen, karbon dioksida, air yang mengandung asam atau alkali dan proses kimia lain (Hardiyatmo H.C., 1992).

Istilah pasir, lempung, lanau atau lumpur digunakan untuk menggambarkan ukuran partikel pada batas yang telah ditentukan, walaupun istilah yang sama juga digunakan menggambarkan sifat tanah yang khusus. Misalnya lempung adalah jenis unsur tanah yang bersifat kohesif dan plastis, sedangkan pasir digambarkan sebagai tanah yang tidak kohesif dan tidak plastis (Hardiyatmo H.C., 1992).

3.2.2 Klasifikasi Tanah

Sistem klasifikasi tanah merupakan suatu sistem pengaturan beberapa jenis tanah yang berbeda-beda tetapi mempunyai sifat yang serupa dalam kelompok-kelompok dan subkelompok-subkelompok berdasarkan pemakaianya. Sistem

W = *Well graded* (tanah dengan gradasi baik).

P = *Poorly graded* (tanah dengan gradasi buruk).

L = *Low plasticity* (plastisitas rendah).

H = *High plasticity* (plastisitas tinggi).

Tabel 3.2 Sistem Klasifikasi Unified (Sumber: Bowles, 1993)

Divisi utama		Simbol kelompok	Nama umum	
Tanah Berbutir Kasar Lebih dari 50% butiran terdahan pada ayakan no. 200	Lanau dan Lempung Batas cair 50% atau kurang cair lebih dari 50%	Pasir		
		GW	Kerikil bergradasi baik dan campuran kerikil-pasir, sedikit atau sama sekali tidak mengandung butiran halus	
		GP	Kerikil bergradasi buruk dan campuran kerikil-pasir, sedikit atau sama sekali tidak mengandung butiran halus	
		Kerikil bersih (hanya kerikil) dengan	GM	Kerikil berlanau, campuran kerikil-pasir-lanau
			GC	Kerikil berlempung campuran kerikil-pasir-lempung
		SW	Pasir bergradasi baik, pasir berkerikil, sedikit atau sama sekali tidak mengandung butiran halus	
		SP	Pasir bergradasi buruk, pasir berkerikil, sedikit atau sama sekali tidak mengandung butiran halus	
		SM	Pasir berlanau, campuran pasir lanau	
		SC	Pasir berlempung, campuran pasir-lanau	
		ML	Lanau anorganik, pasir halus sekali, serbuk batuan, pasir halus berlanau atau berlempung	
Tanah Berbutir Halus 50% atau lebih lolos ayakan no. 200	Lanau dan Lempung Batas cair 50% atau kurang cair lebih dari 50%	CL	Lempung anorganik dengan plastisitas rendah sampai dengan sedang lempung berkerikil, lempung berpasir, lempung berlanau, lempung "kurus"	
		OL	Lanau organik dan lempung berlanau organik dengan plastisitas rendah	
		MH	Lanau anorganik atau pasir halus diatomae atau lanau diatomae, lanau yang elastis	
		CH	Lempung anorganik dengan plastisitas tinggi, lempung gemuk	
Tanah-tanah dengan kandungan organik sangat tinggi	PT	OH	Lempung organik dengan plastisitas sedang sampai dengan tinggi	
		PT	Peat (gambut), muck dan tanah-tanah lain dengan kandungan organik tinggi	

3.2.3 Ukuran Partikel Tanah

Tanah secara umum dapat diklasifikasikan sebagai kerikil, pasir, lanau dan lempung tergantung dari ukuran partikel yang paling dominan. Pada tabel 3.4 diberikan batas rentang besar ukuran butiran tanah menurut beberapa spesifikasi.

Fraksi yang sangat halus tersusun dari butiran yang berukuran lebih kecil dari satu μm . Untuk dapat melihat ukuran butiran tanah yang sedemikian kecilnya harus menggunakan mikroskop elektron.

Tabel 3.3 Batasan Ukuran Golongan Tanah (Sumber: Mek. Tanah I,

Christady, H., 1992)

Klasifikasi	Ukuran Butiran Tanah (mm)			
	Kerikil	Pasir	Lanau	Lempung
MIT	>2	2,0 – 0,06	0,06 – 0,002	<0,002
USDA	>2	2,0 – 0,05	0,05 – 0,002	<0,002
AASHTO	76,2 – 2,0	2,0 – 0,075	0,075 – 0,002	<0,002
Unified (USCS)	7,62 – 4,75	4,74 – 0,075	<0,075	<0,0075

3.2.4 Tingkat Plastitas Tanah

Perilaku tanah berbutir halus sangat dipengaruhi oleh kandungan airnya. Tingkatan plastis tanah dapat ditentukan apabila batas plastisnya dan batas cairnya telah diketahui. Dengan melihat perbedaan antara batas cair dan batas plastis suatu tanah dapat ditentukan indeks plastisitasnya (PI) yaitu :

$$\text{PI} = \text{LL} - \text{PL}$$

keterangan:

PI = *Plasticity Index.*

LL = *Liquid Limit.*

PL = *Plastic Limit.*

bidang yang ditinjau. Jika tegangan tersebut lebih besar dari kekuatan tanah, maka akan terjadi keruntuhan.

Kuat geser tanah adalah gaya perlawanan yang dilakukan oleh butir-butir tanah terhadap desakan atau tarikan. Keruntuhan geser (*shear failure*) dalam tanah diakibatkan oleh gerakan relatif antar butiran. Dengan demikian kuat geser tanah tergantung dari gaya-gaya yang bekerja antara butirannya. Dari pengertian ini kuat geser tanah dapat terdiri dari dua bagian, yaitu:

1. Bagian yang bersifat kohesif yang tergantung pada kepadatannya dan kepadatan butirannya.
2. Bagian yang mempunyai sifat gesekan (*friction*) yang sebanding dengan tegangan vertikal yang bekerja pada bidang gesernya.

Berdasarkan uraian diatas Coloumb (1736), kuat geser tanah adalah sebagai berikut:

$$\tau = c + \sigma_n \operatorname{tg} \varphi \quad \dots \dots \dots \quad (3.1)$$

keterangan:

τ = kuat geser tanah.

σ_n = tegangan normal pada bidang runtuh.

c = kohesi tanah.

φ = sudut geser dalam tanah.

Persamaan diatas tersebut kriteria keruntuhan atau kegagalan Mohr-Coulomb (1910) yang menyatakan bahwa keruntuhan akibat geser akan terjadi bila tegangan geser pada suatu bidang mencapai syarat tertentu.

Dalam analisis stabilitas lereng, beberapa anggapan telah dibuat, yaitu:

1. Kelongsoran lereng terjadi disepanjang permukaan bidang longsor tertentu dan dianggap sebagai masalah bidang dua dimensi.
 2. Massa tanah yang longsor dianggap berupa benda yang masif.
 3. Tahanan geser dari massa tanah pada setiap titik sepanjang bidang longsor tidak tergantung dari orientasi permukaan longsoran atau dengan kata lain kuat geser tanah dianggap isotropis.
 4. Faktor aman didefinisikan dengan memperhatikan tegangan geser rata-rata sepanjang bidang longsor yang potensial dan kuat geser tanah rata-rata sepanjang permukaan longsoran. Jadi, kuat geser tanah mungkin terlampaui di titik-titik tertentu pada bidang longsornya, padahal faktor aman hasil hitungan lebih besar 1.

Faktor aman didefinisikan sebagai nilai banding antara gaya yang menahan dan gaya yang menggerakkan atau menjadi persamaan:

keterangan:

τ = tahanan geser yang dapat dikerahkan oleh tanah.

τ_d = tegangan geser yang terjadi akibat gaya berat tanah yang longsor dan F adalah faktor aman.

Menurut Mohr-Coulomb (1910), tahanan terhadap tegangan geser adalah:

$$\tau = c + \sigma_n \operatorname{tg} \varphi \dots \quad (3.3)$$

1. Kondisi Tanpa Rembesan

Dalam masalah ini akan ditentukan besarnya faktor aman dari lereng setebal H pada bidang longsor AB (Gambar 3.4). Pada lerengnya dianggap tidak terdapat aliran air tanah.

Berat elemen tanah $PQTS$ adalah:

$$W = \gamma b H \quad \dots \dots \dots \quad (3.8)$$

Gaya berat W dapat diuraikan menjadi:

$$N_a = W \cos \alpha = \gamma b H \cos \alpha \quad \dots \dots \dots \quad (3.9)$$

$$T_a = W \sin \alpha = \gamma b H \sin \alpha \quad \dots \dots \dots \quad (3.10)$$

Tegangan normal σ dan gaya geser τ pada bidang AB per satuan lebar adalah:

$$\sigma = \frac{Na}{(b/\cos\alpha)} = \gamma H \cos^2 \alpha \quad \dots \dots \dots \quad (3.11)$$

$$\tau = \frac{Ta}{(b/\cos\alpha)} = \gamma H \cos \alpha \sin \alpha \quad \dots \dots \dots \quad (3.12)$$

Reaksi akibat gaya berat W adalah gaya P yang besarnya sama dengan W , dengan arah yang berlawanan. Uraian gaya P memberikan:

$$N_r = P \cos \alpha = W \cos \alpha = \gamma H b \cos \alpha \quad \dots \dots \dots \quad (3.13)$$

$$T_r = P \sin \alpha = W \sin \alpha = \gamma H b \sin \alpha \quad \dots \dots \dots \quad (3.14)$$

Dalam kondisi seimbang, gaya geser yang bekerja pada bidang AB adalah:

$$\tau_d = \frac{Tr}{(b/\cos\alpha)} = \gamma H \sin \alpha \cos \alpha \quad \dots \dots \dots \quad (3.15)$$

Gaya geser yang terjadi ini dapat dituliskan dalam persamaan:

$$\tau_d = C_d + \sigma \operatorname{tg} \phi_d \quad \dots \dots \dots \quad (3.16)$$

Subtitusi persamaan persamaan (3.15) dan persamaan (3.16), diperoleh:

$$\gamma H \sin \alpha \cos \alpha = c_d + \gamma H \cos^2 \alpha \operatorname{tg} \varphi_d \quad \dots \dots \dots \quad (3.17)$$

Persamaan (3.17) dapat disusun dalam bentuk persamaan:

$$C_d/\gamma H = \cos^2 \alpha (\operatorname{tg} \alpha - \operatorname{tg} \varphi_d) \quad \dots \dots \dots \quad (3.18)$$

Dari persamaan (3.16), bila faktor aman diberikan pada masing-masing komponen gesekan dan kohesi akan mendapatkan persamaan:

Subtitusi persamaan (3.20) ke dalam persamaan (3.18), diperoleh:

$$F = \frac{c}{\gamma H \cos^2 \alpha \operatorname{tg} \alpha} + \frac{\operatorname{tg} \varphi}{\operatorname{tg} \alpha} \quad \dots \dots \dots \quad (3.21)$$

keterangan:

F = faktor aman.

c = kohesi tanah.

θ = sudut gesek dalam tanah

a = sidut kemiringan lereng.

γ = berat volume tanah.

Untuk tanah yang mempunyai φ dan c , kedalaman elemen tanah pada kondisi kritis (H_c) terjadi bila $F = 1$, yaitu:

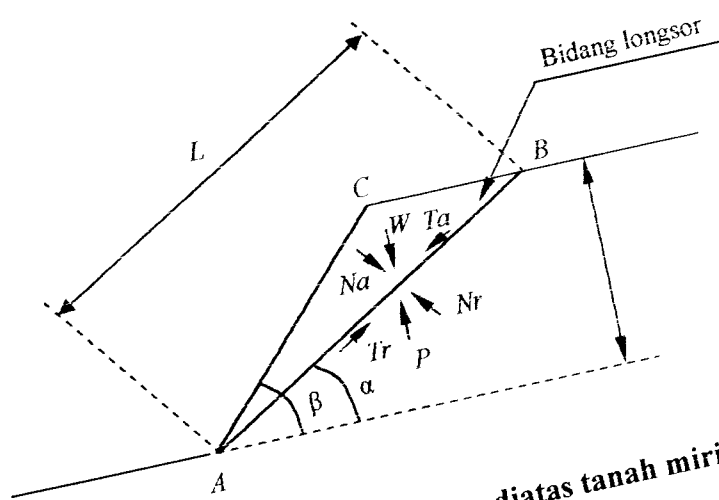
$$H_c = \frac{c}{r \cos^2 \alpha (\operatorname{tg} \alpha - \operatorname{tg} \varphi)} \quad \dots \dots \dots \quad (3.22)$$

keterangan:

H_c = kedalaman maksimum, dimana lereng dalam kondisi kritis akan longsor.

c = kohesi tanah.

γ = berat volume tanah.



Gambar 3.6 Analisis stabilitas timbunan diatas tanah miring (Sumber:
Mekanika Tanah II, Christady, H., 1992)

$$\begin{aligned}
 W &= \sqrt{H^2 CB} \\
 &= H\gamma \left(H/\tan\alpha - H/\tan\beta \right) \\
 &= \frac{1}{2}\gamma H^2 \left(\frac{\sin(\beta - \alpha)}{\sin\beta \sin\alpha} \right)
 \end{aligned} \tag{3.41}$$

keterangan:

W = berat tanah diatas bidang longsor.

α = sudut longsor terhadap horisontal.

β = sudut lereng tanah.

Tegangan normal (σ) dan tegangan geser (τ) yang terjadi akibat berat tanah pada bidang AB adalah:

$$\sigma = \frac{N_a}{H/\sin\alpha} = \frac{\frac{1}{2}\gamma H \sin\alpha \cos\alpha \sin(\beta - \alpha)}{\sin\beta \sin\alpha} \tag{3.42}$$

$$\tau = \frac{T_a}{H/\sin\alpha} = \frac{\frac{1}{2}\gamma H \sin^2\alpha \sin(\beta - \alpha)}{\sin\beta \sin\alpha} \tag{3.43}$$

tahanan geser yang terjadi pada bidang AB , adalah:

pada saat keseimbangan batas tercapai, $\tau = \tau_d$. Subsitusi Persamaan (3.43) ke Persamaan (3.44), diperoleh:

$$\frac{\frac{1}{2} \gamma H \sin^2 \alpha \sin(\beta - \alpha)}{\sin \beta \sin \alpha} = c_d + \frac{1}{2} \gamma H \left(\frac{\sin(\beta - \alpha)}{\sin \beta \sin \alpha} \right) \cos \beta \sin \alpha \operatorname{tg} \varphi_d$$

$$c_d = \frac{1}{2} \gamma H \left(\frac{\sin(\beta - \alpha)(\sin \alpha - \cos \alpha \operatorname{tg} \varphi_d)}{\sin \beta} \right) \dots \quad (3.45)$$

Dari Persamaan (3.45) terlihat bahwa c_d adalah fungsi dari suatu sudut α , karena nilai – nilai $\beta, \gamma, H, \varphi_d$ konstan.

Dengan mengambil $\frac{\partial \zeta_u}{\partial \alpha} = 0$, diperoleh nilai sudut kritis (α_c) sebesar:

Substitusi persamaan $\alpha = \alpha_c$, ke persamaan (3.45), diperoleh:

$$c_d = \left(\frac{1 - \cos(\beta - \varphi_d)}{\sin \beta \cos \varphi_d} \right) \frac{\gamma H}{4} \quad \dots \dots \dots \quad (3.47)$$

saat kondisi kritis $F = 1$. Dari substitusi $c_d = c$ dan $\dot{\phi}_d = \dot{\phi}$ ke persamaan (3.47), diperoleh persamaan tinggi H yang paling kritis, sebesar:

$$H_c = \frac{4c}{\gamma} \left(\frac{\sin \beta \cos \varphi}{1 - \cos(\beta - \varphi)} \right) \dots \quad (3.48)$$

keterangan:

H_c = tinggi lereng kritis.

- ϕ = sudut gesek dalam tanah.
 a_i = panjang bagian lingkaran pada irisan ke-*i*.
 W_i = berat irisan tanah ke-*i*.
 u_i = tekanan air pori pada irisan ke-*i*.
 θ = sudut yang didefinisikan pada Gambar 3.8.

Jika terdapat gaya-gaya selain berat lereng tanahnya sendiri, seperti beban bangunan di atas lereng, maka momen akibat beban ini diperhitungkan sebagai M_d . Metode Fellinius memberikan faktor aman yang relatif rendah dari cara hitungan yang lebih teliti. Batas-batas nilai kesalahan dapat mencapai kira-kira 5 sampai 40% tergantung dari faktor aman, sudut pusat lingkaran yang dipilih, dan besarnya tekanan air pori. Walaupun analisisnya ditinjau dalam tinjauan tegangan total, kesalahannya masih merupakan fungsi dari faktor aman dan sudut pusat dari lingkarannya (Whitman dan Baily, 1967). Cara ini telah banyak digunakan dalam praktiknya. Karena, cara hitungannya yang sederhana dan kesalahan yang terjadi pada sisi yang aman.

3.7.2 Analisis Stabilitas Lereng dengan Metode Bishop Disederhanakan

Metode irisan yang disederhanakan diberikan oleh Bishop (1955). Metode ini menganggap bahwa gaya-gaya yang bekerja pada sisi-sisi irisan mempunyai resultan nol pada arah vertikal.

Persamaan kuat geser dalam tinjauan tegangan efektif yang dapat dikerahkan tanah, hingga tercapainya kondisi keseimbangan batas dengan memperhatikan faktor aman, adalah:

$$\tau = \frac{c'}{F} + (\sigma + u) \frac{\tan \varphi'}{F} \quad \dots \dots \dots \quad (3.53)$$

keterangan:

σ = tegangan normal total pada bidang longsor.

u = tekanan air pori.

Untuk irisan ke- i , nilai $T_i = \tau a_i$, yaitu nilai gaya geser yang berkembang pada bidang longsor untuk keseimbangan batas. Karena itu didapat:

$$T_i = \frac{c' a_i}{F} + (N_i - u_i a_i) \frac{tg\phi'}{F} \quad \dots \quad (3.54)$$

Kondisi keseimbangan momen terhadap pusat rotasi O antara berat massa tanah yang akan longsor dengan gaya geser total pada dasar bidang longsornya dapat dinyatakan oleh (**Gambar 3.9**):

$$\sum W_i x_i = \sum T_i R \quad \dots \dots \dots \quad (3.55)$$

keterangan:

x_1 = jarak W₁ ke pusat rotasi O.

Dari persamaan (3.53) dan (3.55) dapat diperoleh:

$$F = \frac{R \sum_{i=1}^{i=n} [c' a_i + (N_i - u_i a_i) \operatorname{tg} \varphi']}{\sum_{i=1}^{i=n} W_i x_i} \dots \quad (3.56)$$

Dari kondisi keseimbangan vertikal, jika $X_1 = X_i$ dan $X_r = X_{i+1}$:

$$N_i \cos \theta_i + T_i \sin \theta_i = W_i + X_i - X_{i+1}$$

$$N_i = \frac{W_i + X_i - X_{i+1} - T_i \sin \theta_i}{\cos \theta_i} \dots \quad (3.57)$$

Jika $N_i' = N_i - u_i a_i$ substitusi persamaan (3.54) ke persamaan (3.57), dapat

diperoleh persamaan:

$$N_i' = \frac{W_i + X_i - X_{i+1} - u_i a_i \cos \theta - c' a_i \sin \theta / F}{\cos \theta_i + \sin \theta_i \tan \phi' / F} \quad (3.58)$$

Subtitusi Persamaan (3.58) ke persamaan (3.56), diperoleh:

$$F = \frac{R \sum_{i=1}^{i=n} (c' a_i + \operatorname{tg} \varphi' \cdot \frac{W_i + X_i - X_{i+1} - u_i a_i \cos \theta_i - c' a_i \sin \theta_i / F}{\cos \theta_i + \sin \theta_i \operatorname{tg} \varphi' / F})}{\sum_{i=1}^{i=n} W_i x_i} \quad \dots \quad (3.59)$$

Untuk penyederhanaan dianggap $X_i - X_{i+1} = 0$ dan dengan mengambil:

Subtitusi Persamaan (3.60) dan (3.61) ke Persamaan (3.59) diperoleh persamaan faktor aman:

$$F = \frac{\sum_{i=1}^n [c'b_i + (W_i - u_ib_i)tg\varphi']x \left(\frac{1}{\cos\theta_i(1+tg\theta_itg\varphi')_F} \right)}{\sum_{i=1}^n W \sin\theta_{ii}} \quad \dots \quad (3.62)$$

keterangan:

F = faktor aman.

c' = kohesi tanah efektif.

ϕ' = sudut gesek dalam tanah efektif.

b_i = lebar irisan ke- i .

W_i = berat irisan tanah ke-*i*.

θ_i = sudut yang didefinisikan dalam Gambar 3.8.

u_i = tekanan air pori (*pore pressure*) didefinisikan sebagai:

keterangan:

r_u = nilai banding tekanan pori.

u = tekanan air pori.

b = lebar iris.

γ = berat volume tanah.

h = tinggi irisan rata-rata.

Dari Persamaan (3.63), bentuk lain dari persamaan faktor aman untuk analisis

stabilitas lereng cara Bishop adalah:

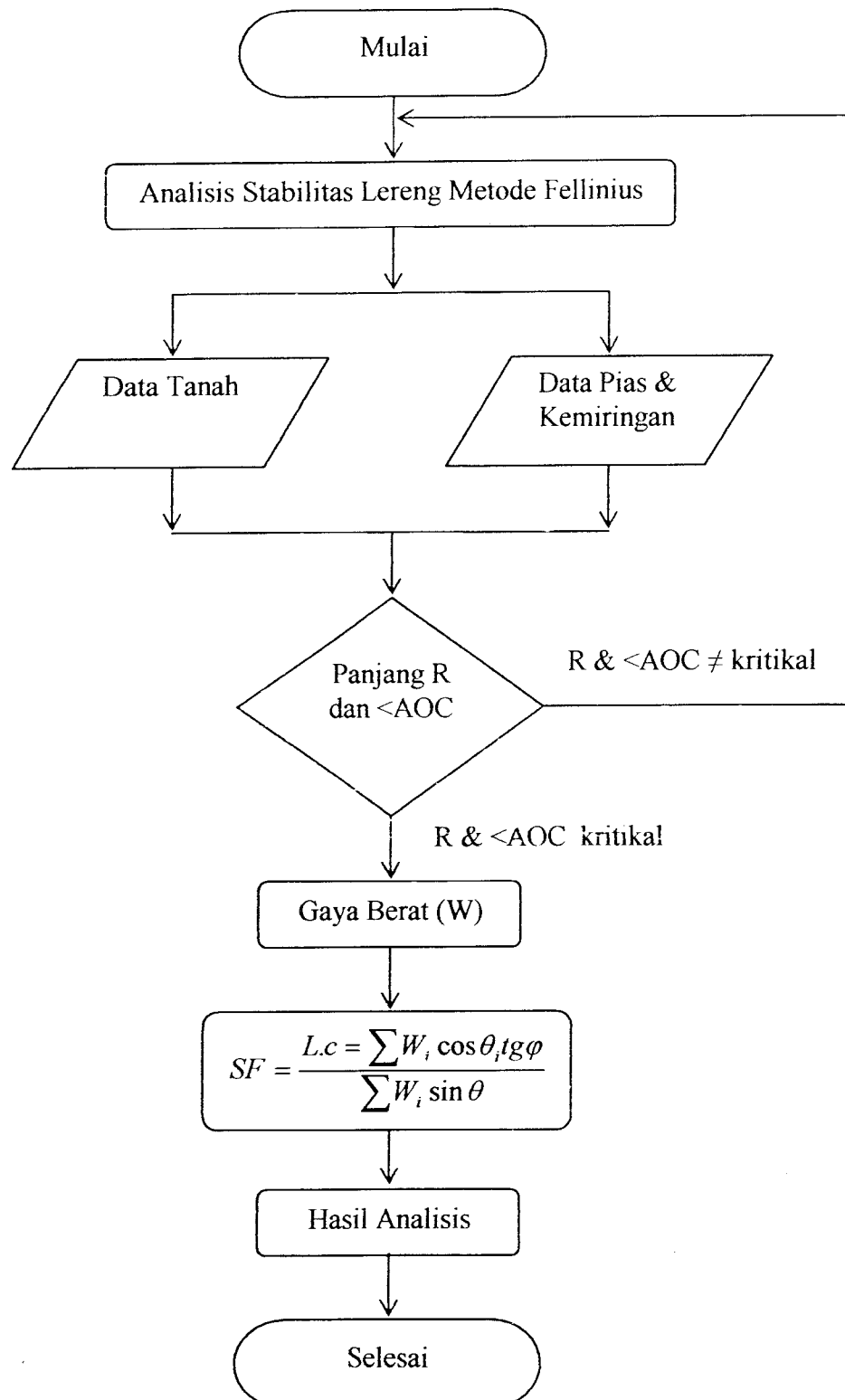
$$F = \frac{\sum_{i=1}^{i=n} [c' b_i + W_i(1 - r_u) t g \varphi] x \left(\frac{1}{\cos \theta_i (1 + t g \theta_i t g \varphi / F)} \right)}{\sum_{i=1}^{i=n} W \sin \theta_{ii}} \dots \quad (3.64)$$

dan nilai fungsi M_i adalah:

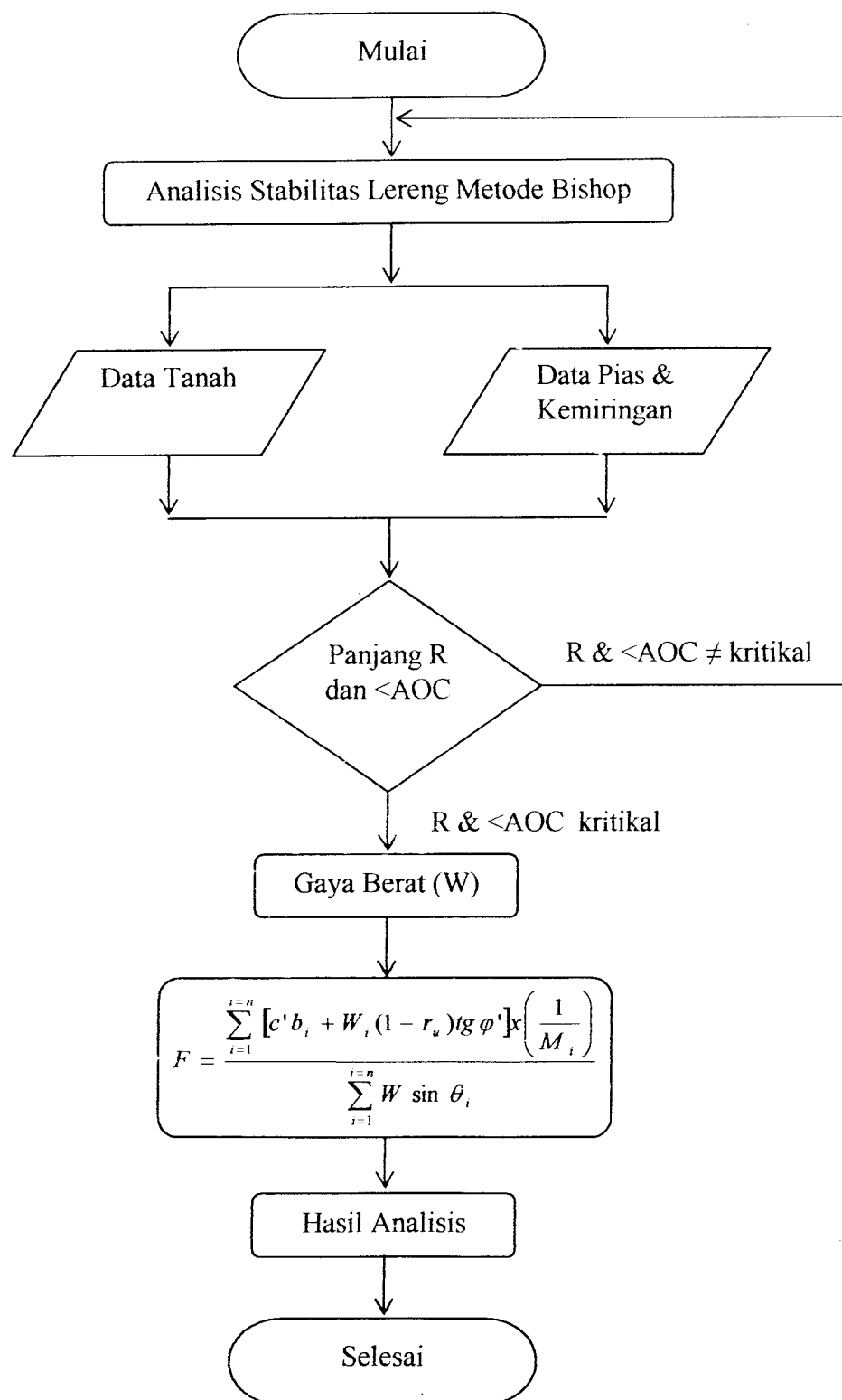
$$= \cos \theta_i (1 + \operatorname{tg} \theta_i \operatorname{tg} \frac{\varphi'}{F}) \dots \quad (3.65)$$

jadi:

$$F = \frac{\sum_{i=1}^{i=n} [c'b_i + W_i(1-r_u)tg\varphi']x\left(\frac{1}{M_i}\right)}{\sum_{i=1}^{i=n} W \sin \theta_{ii}} \dots \quad (3.66)$$



Gambar 3.9 Diagram Alur Analisis dengan Metode Fellinius



Gambar 3.10 Diagram Alur Analisis dengan Metode Bishop

3. Data lapisan tanah.

Data lapisan tanah dapat dilihat pada tabel 1.1

Tabel 1.1 Data Lapisan Tanah

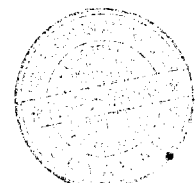
Lapisan (m)	Jenis tanah
0 – 1,4	Pasir berlanau lepas dengan tingkat kepadatan rendah
1,4 – 2,5	Pasir kasar berkerikil dengan kepadatan sedang
>2,5	Pasir sedang hingga kasar berkerikil padat

4.3 Langkah-langkah Penelitian

1. Mencari dan mempelajari literatur yang berhubungan dengan topik penelitian.
2. Mengumpulkan data dan referensi yang diperlukan untuk mendukung penelitian.
3. Merumuskan permasalahan yang ada untuk analisis stabilitas lereng untuk penggalian tanah.
4. Menentukan parameter yang berpengaruh dalam penggalian tanah dengan analisis stabilitas lereng.
5. Merencanakan dan menghitung berdasarkan teori-teori yang dipakai dalam penelitian.
6. Pembahasan untuk setiap parameter pada analisis stabilitas lereng.
7. Kesimpulan dan saran.

4.4 Metode Analisis

Analisis Stabilitas Lereng pada penelitian ini menggunakan Metode Irisan yaitu Metode Fellinius dan Metode Bishop Yang Disederhanakan dengan penggunaan aplikasi Program *Excel* dan Program *Slope/W*, penggunaan aplikasi



ini diharapkan dapat mempercepat hitungan karena banyaknya variasi lereng yang akan dimasukkan dalam analisis stabilitas lereng ini.

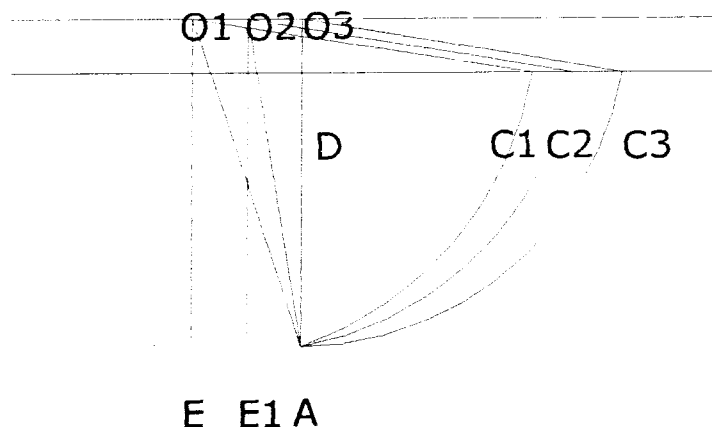
Jalan dari penelitian ini dapat dilihat pada *flowchart* yang dilampirkan pada gambar 4.1

BAB V

ANALISIS STABILITAS LERENG

5.1 Analisis Stabilitas Lereng

Pada kasus ini analisis dilakukan dengan menggunakan metode Fellinius dan Bishop dan semua hitungan dimasukkan dalam tabel dengan program excell. Untuk mendapatkan hasil analisis yang benar, langkah pertama adalah penentuan R kritis. Penentuan nilai R kritis adalah R yang didapat dari panjang koordinat O dan A. R kritis dapat dilihat pada gambar 5.1.



Gambar 5.1 Penentuan R kritis

Koordinat H: (XC + 2, YO) = (5,916 + 2; 6) = (7,916; 6).

$$\angle COD = \arctan \frac{L\overline{BC}}{L\overline{OB}} = \arctan \frac{6}{1} = 80,406^\circ.$$

$$\angle AOC = \angle COD = 80,406^\circ.$$

$$\angle COF = 2 \times \arcsin \left(\frac{\sqrt{(XC - XF)^2 + (YC - YF)^2} / 2}{R} \right) = 13,984^\circ.$$

$$\angle FOG = 2 \times \arcsin \left(\frac{\sqrt{(XF - XG)^2 + (YF - YG)^2} / 2}{R} \right) = 12,107^\circ.$$

$$\angle GOA = \arcsin \left(\frac{\sqrt{(XG - XA)^2 + (YG - YA)^2} / 2}{R} \right) = 54,315^\circ.$$

$$L\overline{CF} = \frac{\angle COF}{360} \times 2\pi \times R = 1,464 \text{ m.}$$

$$L\overline{FG} = \frac{\angle COF}{360} \times 2\pi \times R = 1,268 \text{ m.}$$

$$L\overline{GA} = \frac{\angle COF}{360} \times 2\pi \times R = 5,688 \text{ m.}$$

$$\phi_1 = 28; \quad \phi_2 = 38; \quad \phi_3 = 35.$$

$$c_1 = 0,042; \quad C_2 = 0,035; \quad C_3 = 0,021.$$

$$\text{Lebar tiap pias} = \frac{L\overline{CD}}{6} = 0,986 \text{ m.}$$

Hitungan untuk pias ke 1 dengan metode Bishop:

$$X_1 = \frac{1}{2} \times B = \frac{1}{2} \times 0,986 = 0,493 \text{ m.}$$

$$\theta_1 = \arcsin \frac{x_i}{R} = 4,7131^\circ.$$

$$y_1 = \frac{xi}{\tan \theta_1} = 5,9797 \text{ m.}$$

$$h_1 = L \overline{CD} - (L \overline{OE} - y_1) = 5 - (6 - 5,9797) = 4,9797 \text{ m.}$$

$$\begin{aligned} W &= (B_1 \times h_1 \times \gamma_1) + (B_1 \times h_2 \times \gamma_2) + (B_1 \times h_3 \times \gamma_3) \\ &= (0,986 \times 1,4 \times 1,0563) + (0,986 \times 1,1 \times 1,487) + (0,986 \times 2,480 \times 2,562) \\ &= 6,5795 \text{ t/m.} \end{aligned}$$

$$C_r \times B_1 = \frac{(c_1 + c_2 + c_3)}{3} \times B_1 = 0,033 \text{ t/m.}$$

$$W \sin \theta_1 = 6,5795 \sin (4,715^\circ) = 0,5408 \text{ t/m.}$$

$$W \tan \varphi_3 = 6,5795 \tan 35^\circ = 4,6094 \text{ t/m.}$$

$$(c_1 \times B_1) + W \tan \varphi_3 = 4,641 \text{ t/m.}$$

Untuk mencari F dilakukan dengan iterasi yang berulang (*trial and error*).

Dicari M dengan F coba-coba,

$$F_0 = 1,700 \text{ didapat } M_1 \text{ pada lapis 1} = 1,03049$$

$$((c_1 \times B_1) + W \tan \varphi_3) / M_1 = 4,50413 \text{ (pada lapis 1).}$$

$$F_1 = (\Sigma((c_1 \times B_1) + W \tan \varphi_3) / M_1) / (\Sigma W \sin \theta_1) = 1,720.$$

$$\text{Dari } F_1 \text{ didapat } M_2 = 1,03009.$$

$$((c_1 \times B_1) + W \tan \varphi_3) / M_2 = 4,50586.$$

$$F_2 = (\Sigma((c_1 \times B_1) + W \tan \varphi_3) / M_2) / (\Sigma W \sin \theta_1) = 1,724.$$

$$\text{Dari } F_2 \text{ didapat } M_3 = 1,03003.$$

$$((c_1 \times B_1) + W \tan \varphi_3) / M_3 = 4,50516.$$

$$F_3 = (\Sigma((c_1 \times B_1) + W \tan \varphi_3) / M_3) / (\Sigma W \sin \theta_1) = 1,724.$$

Karena nilai $F_2 = F_3$, iterasi dihentikan dan didapat nilai $F = 1,724$.

Hitungan untuk pias ke 1 dengan metode Fellinius:

$$x_1 = \frac{1}{2} \times B = \frac{1}{2} \times 0,986 = 0,493 \text{ m.}$$

$$\theta_1 = \arcsin \frac{x_1}{R} = 4,7150^0.$$

$$y_1 = \frac{x_1}{\tan \theta_1} = 5,9797 \text{ m.}$$

$$h_1 = L \overline{CD} - (L \overline{OE} - y_1) = 5 - (6 - 5,9797) = 4,9797 \text{ m.}$$

$$\begin{aligned} W &= (B_1 \times h_1 \times \gamma_1) + (B_1 \times h_2 \times \gamma_2) + (B_1 \times h_3 \times \gamma_3) \\ &= (0,986 \times 1,4 \times 1,0563) + (0,986 \times 1,1 \times 1,487) + (0,986 \times 2,480 \times 2,562) \\ &= 6,5795 \text{ t/m} \end{aligned}$$

$$W \sin \theta_1 = 6,5795 \sin (4,7150^0) = 0,5408 \text{ t/m.}$$

$$W \cos \theta_1 = 6,5795 \cos (4,7150^0) = 6,5572 \text{ t/m.}$$

$$\Sigma W \sin \theta = 11,76 \text{ t/m.}$$

$$\Sigma W \cos \theta \text{ untuk lap. I + II + III} = 24,667 \text{ t/m.}$$

$$\Sigma W \cos \theta \text{ untuk lap. I + II} = 0,7539 \text{ t/m.}$$

$$\Sigma W \cos \theta \text{ untuk lap. I} = 0,1154 \text{ t/m.}$$

$$L \overline{AC} \times c = (L \overline{CF} \times c_1) + (L \overline{FG} \times c_2) + (L \overline{GA} \times c_3) = 0,225.$$

$$\begin{aligned} W \cos \theta \times \tan \phi &= (24,667 \times 28,000) + (0,7539 \times 38,000) + (0,1154 \times 35,000) \\ &= 17,922 \text{ t/m.} \end{aligned}$$

$$F = ((L \overline{AC} \times c) + (W \cos \theta \times \tan \phi)) / (\Sigma W \sin \theta) = (0,225 + 17,922) / 11,76 = 1,543.$$

Tabel 5.2 Perhitungan Stabilitas Lereng Metode Bishop Untuk Sudut Kemiringan 90^0 dengan jumlah pias 6 (lanjutan)

cxB (t/m)	W sin θ (t/m)	W tg ϕ (t/m)	13+15			Mi (t/m)			16/17 (t/m)			
			F0	1,700	F1	1,720	F2	1,724	F0	1,700	F1	1,720
13	14	15	16	17a	17b	17c		18a		18b		18c
0,032	0,54083	4,60942	4,641	1,03049	1,03009	1,03003	4,50413	4,50586	4,50616			
0,032	1,56496	4,446	4,478	1,07074	1,06955	1,06935	4,18220	4,18685	4,18764			
0,032	2,40784	4,10443	4,136	1,08101	1,07903	1,07869	3,82649	3,83352	3,83472			
0,032	2,91333	3,5473	3,579	1,05501	1,05223	1,05176	3,39273	3,40168	3,40321			
0,030	2,68509	2,55941	2,590	0,98098	0,97743	0,97683	2,63981	2,64939	2,65103			
0,002	0,14233	0,13616	0,138	0,95219	0,94779	0,94704	0,14529	0,14596	0,14608			
0,022	1,14923	1,03345	1,055	0,89403	0,88935	0,88855	1,18030	1,18651	1,18757			
0,018	0,35643	0,19929	0,217	0,60565	0,60217	0,60157	0,35797	0,36004	0,36040			
			11,760				20,22891	20,26981	20,27680			

Tabel 5.3 Perhitungan Stabilitas Lereng Metode Fellinius Untuk Sudut Kemiringan 90^0 dengan jumlah pias 6

titik	koordinat		Sudut COF	13,984	0,042
	X	Y			
A	2	0	Sudut FOG	12,107	0,035
B	0	5	Sudut GOA	54,315	0,021
C	7,916	5	LCF	1,464	0,225
D	2,00	5	LFG	1,268	17,922
E	0	0	LGA	5,688	1,543
F	7,499	3,6	Φ_1	28,000	
G	6,873	2,5	Φ_2	38,000	
H	7,916	6	Φ_3	35,000	
O	2	6			

0,012	1,0513	0,98117	0,993	0,95047	0,94982	0,94981	1,04448	1,04508	1,04520
0,012	1,19048	1,04604	1,058	0,88592	0,88533	0,88522	1,19466	1,19545	1,19561
0,018	0,7415	0,41467	0,432	0,62081	0,62039	0,62030	0,69615	0,69663	0,69672
	15,9591						25,88902	25,89583	25,89714

Tabel 5.5 Perhitungan Stabilitas Lereng Metode Fellinius Untuk Sudut Kemiringan 90^0 dengan jumlah pias 8

titik	koordinat		L OC = R	6,000	Sudut COF	13,984	c1	0,042
	X	Y						
A	2	0	L BC	7,916	Sudut FOG	12,107	c2	0,035
B	0	5	L CD	5,916	Sudut GOA	54,315	c3	0,021
C	7,916	5	L OB	1,000	L CF	1,464	LACxc	0,225
D	2,00	5	L OA = R	6,000	L FG	1,268	$W \cos \alpha \times \tan \theta$	17,898
E	0	0	L OE	6,000	L GA	5,688	F	1,548
F	7,499	3,6	L EA	2,000	φ_1	28,000		
G	6,873	2,5	Sudut COD	80,406	φ_2	38,000		
H	7,916	6	Sudut AOC	80,406	φ_3	35,000		
O	2	6						

pias ke	B	γ_1	γ_2	γ_3	x_i	θ	y_i	h	h lap. 1	h lap. 2	h lap. 3	W	$W \sin \theta$	$W \cos \theta$
	(m)	(t/m3)	(t/m3)	(t/m3)	(m)	(°)	(m)	(m)	(m)	(m)	(m)	(t/m)	(t/m)	(t/m)
1	0,7395	1,0563	1,487	1,435	0,36975	3,5331	5,9886	4,989	1,4	1,1	2,489	4,9440	0,3048	4,9346
2	0,7395	1,0563	1,487	1,435	1,10925	10,6538	5,8966	4,897	1,4	1,1	2,397	4,8464	0,89633	4,7628
3	0,7395	1,0563	1,487	1,435	1,84875	17,9463	5,7081	4,708	1,4	1,1	2,208	4,6464	1,43222	4,4201
4	0,7395	1,0563	1,487	1,435	2,58825	25,5549	5,4130	4,413	1,4	1,1	1,913	4,3333	1,86997	3,9090
5	0,7395	1,0563	1,487	1,435	3,32775	33,6849	4,9926	3,993	1,4	1,1	1,493	3,8871	2,15665	3,23340
6	0,7395	1,0563	1,487	1,435	4,06725	42,6778	4,4111	3,411	1,4	1,1	0,911	3,2700	2,21737	2,4034

5	0,5916	1,0563	1,487	1,435	2,6622	26,3402	5,37705	5,293	1,4	1,1	2,793	4,2138
6	0,5916	1,0563	1,487	1,435	3,2538	32,8403	5,04111	4,957	1,4	1,1	2,457	3,9286
7	0,5916	1,0563	1,487	1,435	3,8454	39,859	4,60575	4,522	1,4	1,1	2,022	3,5590
8	0,5916	1,0563	1,487	1,435	4,437	47,6883	4,03894	3,955	1,4	1,1	1,455	3,0778
9a	0,1402	1,0563	1,487	1,435	4,8029	53,1763	3,59613	3,512	1,4	1,1	1,012	0,6403
WTOTAL LAPISAN I+II+III												
9b	0,4514	1,0563	1,487	1,435	4,9585	55,7324	3,37835	3,294	1,4	1,894	0	1,93914
10a	0,1746	1,0563	1,487	1,435	5,4117	64,4156	2,59104	1,591	1,4	0,191	0	0,3078
WTOTAL LAPISAN I+II												
10b	0,417	1,0563	1,487	1,435	5,7075	72,0359	1,85053	0,851	1,767	0	0	0,77815
WTOTAL LAPISAN I												

Tabel 5.6 Perhitungan Stabilitas Lereng Metode Bishop Untuk Sudut Kemiringan 90^0 dengan jumlah pias 10 (lanjutan)

cxB (t/m)	W sin θ (t/m)	W tg ϕ (t/m)	13+15	Mi (t/m)								16/17 (t/m)
				F0	1,800	F1	1,708	F2	1,717	F0	1,800	
13	14	15	16	17a	17b	17c				18a	18b	18c
0,019	0,2336	3,31822	3,337	1,01798	1,01901	1,01891	3,27850	3,27518	3,27551			
0,019	0,69342	3,28331	3,303	1,04658	1,04968	1,04937	3,15555	3,14624	3,14716			
0,019	1,13076	3,21244	3,232	1,06510	1,07026	1,06975	3,03416	3,01952	3,02097			
0,019	1,52928	3,10333	3,123	1,07288	1,08011	1,07940	2,91043	2,89096	2,89287			
0,019	1,87035	2,95206	2,971	1,06885	1,07814	1,07722	2,77989	2,75594	2,75829			
0,019	2,13123	2,75225	2,771	1,05120	1,06256	1,06143	2,63649	2,60831	2,61107			
0,019	2,28171	2,49332	2,513	1,01697	1,03039	1,02906	2,47062	2,43844	2,44159			
0,019	2,27671	2,15621	2,175	0,96082	0,97630	0,97477	2,26416	2,22825	2,23176			
0,005	0,51269	0,44858	0,453	0,91070	0,92746	0,92580	0,49757	0,48858	0,48945			
0,017	1,60297	1,51586	1,533	0,92173	0,94104	0,93913	1,66331	1,62918	1,63250			
0,007	0,27768	0,24061	0,247	0,82322	0,84429	0,84221	0,30040	0,29290	0,29362			

6	0,493	1,0563	1,487	1,435	2,7115	26,8667	5,35236	4,352	1,4	1,1	1,852	4,6146
7	0,493	1,0563	1,487	1,435	3,2045	32,2818	5,07259	4,073	1,4	1,1	1,573	4,4166
8	0,493	1,0563	1,487	1,435	3,6975	38,0428	4,7253	3,725	1,4	1,1	1,225	4,1709
9	0,493	1,0563	1,487	1,435	4,1905	44,3001	4,29415	3,294	1,4	1,1	0,794	3,8659
10a	0,436	1,0563	1,487	1,435	4,655	50,8806	3,78563	2,786	1,4	1,1	0,286	3,1008
W TOTAL LAPISAN I+II+III												
10b	0,057	1,056	1,487	1,435	4,9015	54,7773	3,46053	2,461	1,4	1,061	0	0,37542
11	0,493	1,056	1,487	1,435	5,1765	59,6268	3,03378	2,034	1,4	0,634	0	2,63228
12a	0,076	1,056	1,487	1,435	5,461	65,5284	2,48545	1,485	1,4	0,085	0	0,28402
W TOTAL LAPISAN I+II												
12b	0,417	1,056	1,487	1,435	5,7075	72,0359	1,85053	0,851	0,851	0	0	0,88348
W TOTAL LAPISAN I												

Tabel 5.8 Perhitungan Stabilitas Lereng Metode Bishop Untuk Sudut Kemiringan 90^0 dengan jumlah pias 12 (lanjutan)

cxB (t/m)	W sin θ (t/m)	W tg Φ (t/m)	13+15			Mi (t/m)	16/17 (t/m)					
			F0	1,600	F1		F0	1,600	F1	1,589	F2	1,587
13	14	15	16	17a	17b	17c	18a	18b	18c			
0,016	0,20834	3,55131	3,567	1,01715	1,01727	1,01729	3,50719	3,50677	3,50669			
0,016	0,62147	3,53115	3,547	1,04636	1,04672	1,04679	3,39002	3,38885	3,38863			
0,016	1,02384	3,49041	3,506	1,06864	1,06924	1,06936	3,28122	3,27937	3,27901			
0,016	1,40782	3,4282	3,444	1,08369	1,08453	1,08470	3,17823	3,17576	3,17528			
0,016	2,08617	3,23284	3,249	1,08992	1,09125	1,09151	2,98081	2,97720	2,97649			
0,016	2,08617	3,23284	3,249	1,08992	1,09125	1,09151	2,98081	2,97720	2,97649			
0,016	2,3597	3,09418	3,110	1,07925	1,08081	1,08112	2,88182	2,87765	2,87684			
0,016	2,57122	2,92205	2,938	1,05731	1,05911	1,05947	2,77883	2,77409	2,77317			
0,016	2,70088	2,70836	2,724	1,02138	1,02343	1,02382	2,66736	2,66203	2,66099			
0,014	2,40639	2,17233	2,187	0,97046	0,97274	0,97318	2,25304	2,24778	2,24676			

7	0,493	1,0563	1,487	1,435	3,2045	32,2818	5,07259	4,073	1,4	1,1	1,573	4,41663	2,3597	3,73343
8	0,493	1,0563	1,487	1,435	3,6975	38,0428	4,7253	3,725	1,4	1,1	1,225	4,17094	2,57122	3,28414
9	0,493	1,0563	1,487	1,435	4,1905	44,3001	4,29415	3,294	1,4	1,1	0,794	3,86592	2,70088	2,76597
10a	0,436	1,0563	1,487	1,435	4,655	50,8806	3,78563	2,786	1,4	1,1	0,286	3,10079	2,40639	1,95554
W TOTAL LAPISAN I+II+III														
10b	0,057	1,056	1,487	1,435	4,9015	54,7773	3,46053	2,461	1,4	1,061	0	0,37542	0,30677	0,21641
11	0,493	1,056	1,487	1,435	5,1765	59,6268	3,03378	2,034	1,4	0,634	0	2,63228	2,27156	1,33001
12a	0,076	1,056	1,487	1,435	5,461	65,5284	2,48545	1,485	1,4	0,085	0	0,28402	0,25856	0,11753
W TOTAL LAPISAN I+II														
12b	0,417	1,056	1,487	1,435	5,7075	72,0359	1,85053	0,851	0,851	0	0	0,88348	0,84055	0,27206
W TOTAL LAPISAN I														

Tabel 5.10 Perhitungan Stabilitas Lereng Metode Bishop Untuk Sudut Kemiringan 90^0 dengan jumlah pias 14

L OC = R		6,000	28,000
L BC	Y	7,916	38,000
L CD		5,916	35,000
L OB		1,000	0,042
L OA = R		6,000	0,035
L OE		6,000	0,021
L EA		2,000	F0
Sudut COD		80,406	F1
Sudut AOC		80,406	F2
			F3

pias ke	B	y₁	y₂	x₃	θ	y_i	h	h lap. 1	h	h lap. 2	h lap. 3	W
(m)	(t/m3)	(t/m3)	(t/m3)	(m)	(°)	(m)	(m)	(m)	(m)	(m)	(m)	(t/m)
1	2	3	4	5	6	7	8	9	10	11	12	12

c1	0,042
c2	0,035
c3	0,021
LACxc	0,225
W cos α x tgn θ	17,877
F	1,551

Tabel 5.11 Perhitungan Stabilitas Lereng Metode Fellinius Untuk Sudut Kemiringan 90° dengan jumlah pias 14

L OC = R		6,000	13,984	Sudut COF	13,984
L BC	Y	7,916	12,107	Sudut FOG	12,107
L CD	0	5,916	54,315	Sudut GOA	54,315
L OB	5	1,000	1,464	L CF	1,464
L OA = R	0	6,000	6,000	L FG	1,268
L OE	5	6,000	6,000	L GA	5,688
L EA	0	2,000	2,000	φ1	28,000
Sudut COD	0	80,406	80,406	φ2	38,000
Sudut AOC	0	80,406	80,406	φ3	35,000

0,018	0,74034	0,6083	0,626	0,58911	0,59752	0,59904	1,06228	1,04733	1,04468
	12,0642						21,08489	20,97506	20,95545

0,014	0,83856	1,85279	1,867	1,07181	1,07550	1,07616	1,74147	1,73550	1,73442
0,014	0,98749	1,78518	1,799	1,07269	1,07720	1,07801	1,67702	1,66999	1,66873
0,014	1,11225	1,70139	1,715	1,06721	1,07254	1,07350	1,60711	1,59912	1,59769
0,014	1,20652	1,59953	1,613	1,05464	1,06080	1,06190	1,52968	1,52081	1,51922
0,014	1,26255	1,47691	1,491	1,03392	1,04090	1,04215	1,44174	1,43208	1,43035
0,014	1,27022	1,3295	1,343	1,00347	1,01126	1,01267	1,33859	1,32828	1,32643
0,014	1,21532	1,15092	1,165	0,96078	0,96939	0,97094	1,21220	1,20143	1,19951
0,007	0,59348	0,52385	0,531	0,91723	0,92647	0,92814	0,57907	0,57330	0,57227

$$L\overline{CD} = XC - XD = 5,916 - 1,340 = 4,576 \text{ m.}$$

Koordinat E didapat: (0,0).

$$L\overline{OB} = YO - YB = 6 - 5 = 1 \text{ m.}$$

$$L\overline{OC} = R = \sqrt{(XA - XO)^2 + (YA - YO)^2} = \sqrt{(2 - 2)^2 + (0 - 6)^2} = 6 \text{ m.}$$

$$L\overline{OA} = R = 6 \text{ m}$$

$$L\overline{OE} = YO - YE = 6 - 0 = 6 \text{ m}$$

$$L\overline{EA} = XA - XE = 2 - 0 = 2 \text{ m.}$$

Koordinat F:

$$XF = \sqrt{(L\overline{OA})^2 + (L\overline{OE} - YF)^2} + 2 = \sqrt{(6)^2 + (6 - 3,6)^2} + 2 = 7,499 \text{ m.}$$

$$YF = H_2 + H_3 = 2,5 + 1,1 = 3,6 \text{ m.}$$

Jadi koordinat F: (7,499;3,6).

Koordinat G:

$$XG = \sqrt{(L\overline{OA})^2 + (L\overline{OE} - YG)^2} + 2 = \sqrt{(6)^2 + (6 - 2,5)^2} + 2 = 6,873 \text{ m.}$$

$$YG = H_3 = 2,5 \text{ m.}$$

Jadi koordinat G: (6,873;2,5).

Koordinat H: (XC + 2, YO) = (7,916;6).

$$\angle COB = \arctan \frac{L\overline{BC}}{L\overline{OB}} = \arctan \frac{6}{1} = 80,406^\circ.$$

$$\angle AOC = 80,406^\circ.$$

$$\angle COF = 2 \times \arcsin \left(\frac{\sqrt{(XC - XF)^2 + (YC - YF)^2} / 2}{R} \right) = 13,984^\circ.$$

$$= (0,670 \times 0 \times 1,0563) + (0,670 \times 0 \times 1,487) + (0,670 \times 1,2406 \times 1,435)$$

$$= 1,1926 \text{ t/m.}$$

$$W \sin \theta_{1a} = 1,1926 \sin (3,2001^0) = 0,0666 \text{ t/m.}$$

$$W \cos \theta_{1a} = 1,1926 \cos (3,2001^0) = 1,1815 \text{ t/m.}$$

$$\Sigma W \sin \theta = 11,4201 \text{ t/m.}$$

$$\Sigma W \cos \theta \text{ untuk lap. III} = 1,1815 \text{ t/m.}$$

$$\Sigma W \cos \theta \text{ untuk lap. II + III} = 1,2578 \text{ t/m.}$$

$$\Sigma W \cos \theta \text{ untuk lap. I + II + III} = 16,7133 \text{ t/m.}$$

$$\Sigma W \cos \theta \text{ untuk lap. I + II} = 0,6544 \text{ t/m.}$$

$$\Sigma W \cos \theta \text{ untuk lap. I} = 0,3752 \text{ t/m.}$$

$$L \overrightarrow{AC} \times c = (L \overrightarrow{CF} \times c_1) + (L \overrightarrow{FG} \times c_2) + (L \overrightarrow{GA} \times c_3) = 0,225 \text{ m.}$$

$$W \cos \theta \times \tan \phi = (1,1815 \times 35,000) + (1,2578 \times 35,000) + (16,7133 \times 35,000) +$$

$$(0,6544 \times 38,000) + (0,3752 \times 28,000)$$

$$= 14,122 \text{ t/m.}$$

$$F = ((L \overrightarrow{AC} \times c) + (W \cos \theta \times \tan \phi)) / (\Sigma W \sin \theta)$$

$$= (0,225 + 14,122) / 11,4201$$

$$= 1,256.$$

4	0,740	1,0563	1,478	1,435	2,5791	25,4583	5,4174	4,417	1,4	1,1	1,9174	4,3306
5	0,740	1,0563	1,478	1,435	3,3186	33,5802	4,9987	3,999	1,4	1,1	1,4987	3,8862
6	0,740	1,0563	1,487	1,435	4,0581	42,5594	4,4195	3,419	1,4	1,1	0,9195	3,2789
7a	0,436	1,0563	1,487	1,435	4,6459	50,7427	3,7968	2,797	1,4	1,1	0,2968	1,5436
W TOTAL LAPISAN I+II+III												
7b	0,304	1,0563	1,487	1,435	5,0156	56,7135	3,2930	2,293	1,4	0,893	0	0,8518
8a	0,333	1,0563	1,487	1,435	5,3339	62,7452	2,7477	1,748	1,4	0,348	0	0,6646
W TOTAL LAPISAN I+II												
8b	0,417	1,0563	1,487	1,435	5,7089	72,3784	1,8463	0,846	0	0	0	0,3728
W TOTAL LAPISAN I												

Tabel 5.14 Perhitungan Stabilitas Lereng Metode Bishop Untuk Sudut Kemiringan 75^0 dengan jumlah pias 8 (lanjutan)

cxB (t/m)	W sin θ (t/m)	W tg φ (t/m)	13+15 (t/m)	Mi (t/m)					16/17 (t/m)				
				F0	1,500	F1	1,482	F2	1,479	F0	1,500	F1	1,482
13	14	15	16	17a	17b	17c	17c	17c	17c	18a	18a	18b	18c
0,0141	0,0686	0,8355	0,850	1,02452	1,02484	1,02790	1,02790	1,02790	1,02790	0,82923	0,82897	0,82651	
0,0019	0,0304	0,18116	0,183	1,04795	1,04861	1,04874	1,04874	1,04874	1,04874	0,17472	0,17460	0,17458	
0,0063	0,1445	0,71274	0,719	1,05621	1,05702	1,05717	1,05717	1,05717	1,05717	0,68074	0,68022	0,68012	
0,0122	0,4181	1,52465	1,537	1,07111	1,07219	1,07241	1,07241	1,07241	1,07241	1,43481	1,43336	1,43307	
0,0042	0,1968	0,58859	0,593	1,08158	1,08291	1,08316	1,08316	1,08316	1,08316	0,54810	0,54743	0,54729	
0,0240	1,4261	3,25731	3,281	1,09505	1,09675	1,09713	1,09713	1,09713	1,09713	2,99651	2,99177	2,99085	
0,0240	1,8622	3,03388	3,058	1,10366	1,10609	1,10657	1,10657	1,10657	1,10657	2,77071	2,76461	2,76342	
0,0240	2,1503	2,72259	2,747	1,09140	1,09453	1,09514	1,09514	1,09514	1,09514	2,51661	2,50941	2,50801	
0,0240	2,2184	2,29712	2,321	1,05237	1,05620	1,05695	1,05695	1,05695	1,05695	2,20564	2,19765	2,19609	
0,0142	1,1956	1,08144	1,096	0,99428	0,99836	0,99852	0,99852	0,99852	0,99852	1,10191	1,09708	1,09614	

0,0082	0,1724	0,89414	0,902	1,05392	1,05462	1,05477	0,85617	0,85560	0,85547
0,0071	0,2156	0,84324	0,850	1,06748	1,06841	1,06861	0,79658	0,79589	0,79574
0,0051	0,2046	0,68129	0,686	1,07587	1,07697	1,07720	0,63798	0,63733	0,63719
0,0141	0,7234	1,95161	1,966	1,08698	1,08833	1,08862	1,80845	1,80620	1,80572
0,0192	1,2588	2,55439	2,574	1,09976	1,10156	1,10194	2,34016	2,33634	2,33552
0,0192	1,5226	2,40312	2,422	1,10340	1,10572	1,10621	2,19534	2,19075	2,18977
0,0192	1,7061	2,20331	2,223	1,09343	1,09626	1,09687	2,03263	2,02738	2,02626
0,0192	1,7794	1,94438	1,964	1,06688	1,07022	1,07094	1,84052	1,83477	1,83354
0,0192	1,6971	1,60727	1,627	1,01840	1,02225	1,02308	1,59712	1,59109	1,58981
0,0046	0,3651	0,31946	0,324	0,97303	0,97720	0,97810	0,33300	0,33157	0,33127
0,0173	1,0028	0,92223	0,940	0,96975	0,97469	0,97575	0,96881	0,96390	0,96285
0,0067	0,2776	0,24057	0,247	0,90155	0,90680	0,90793	0,27425	0,27266	0,27232
0,0175	0,3563	0,19922	0,217	0,64530	0,64907	0,64988	0,33586	0,33392	0,33350
	11,3549						16,84425	16,80451	16,79603

Tabel 5.17 Perhitungan Stabilitas Lereng Metode Fellinius Untuk Sudut Kemiringan 75° dengan jumlah pias 10

titik	koordinat		$L \cdot OC = R$	5,000	Sudut COF	13,984	c1	0,042
	X	Y						
A	2	0	L BC	5,916	Sudut FOG	12,107	c2	0,035
B	2	5	L CD	4,576	Sudut GOA	54,315	c3	0,021
C	7,916	5	L OB	1,000	L CF	1,464	LACxc	0,225
D	3,34	5	$L OA = R$	6,000	L FG	1,268	$W \cos \alpha \times \tan \theta$	14,945
E	0	0	L OE	6,000	L GA	5,688	F	1,335
F	7,499	3,6	L EA	2,000	φ_1	28,000	φ_2	38,000
G	6,873	2,5	Sudut COB	80,406	φ_3	35,000		
			Sudut AOC	80,406				

2b	0,2950	1,0563	1,487	1,435	0,8175	7,8309	5,9440	2,9950	0	0,550	2,4445	1,2763	0,1740	1,2644
WTOTAL LAPISAN II+III														
2c	0,0210	1,0563	1,487	1,435	0,9755	9,3569	5,9202	3,5608	0,0392	1,1	2,4216	0,1082	0,0176	1,2644
3a	0,3540	1,0563	1,487	1,435	1,1630	11,1766	5,8862	4,2266	0,7389	1,1	2,3876	2,0682	0,4011	0,1068
3b	0,139	1,0563	1,487	1,435	1,4095	13,5867	5,8321	4,8321	1,4	1,1	2,3321	0,8981	0,2111	2,0290
4	0,4930	1,0563	1,487	1,435	1,5865	15,3323	5,7865	4,7865	1,4	1,1	2,2865	3,1530	0,8340	0,8729
5	0,4930	1,0563	1,478	1,435	2,2185	21,7002	5,5748	4,5748	1,4	1,1	2,0748	2,9984	1,1091	3,0407
6	0,4930	1,0563	1,478	1,435	2,7115	26,8667	5,3524	4,3524	1,4	1,1	1,8524	2,8410	1,2844	2,7857
7	0,4930	1,0563	1,478	1,435	3,2045	32,2818	5,0726	4,0726	1,4	1,1	1,5726	2,6431	1,4122	2,5341
8	0,4930	1,0563	1,478	1,435	3,6975	38,0428	4,7253	3,7253	1,4	1,1	1,2253	2,3974	1,4779	2,2343
9	0,4930	1,0563	1,478	1,435	4,1905	44,3001	4,2941	3,2941	1,4	1,1	0,7941	2,0924	1,4618	1,4971
10a	0,4360	1,0563	1,487	1,435	4,6550	50,8806	3,7856	2,7856	1,4	1,1	0,2856	1,5366	1,1925	0,9691
WTOTAL LAPISAN I+II+III														
10b	0,0570	1,0563	1,487	1,435	4,9015	54,7773	3,4605	2,4605	1,4	1,361	0	0,1996	0,1631	0,1151
11	0,4930	1,0563	1,487	1,435	5,1765	59,6268	3,0338	2,0338	1,4	0,934	0	1,4136	1,2199	0,7143
12a	0,0760	1,0563	1,487	1,435	5,461	65,5264	2,48545	1,485	1,4	1,485	0	0,2803	0,2551	0,1160
WTOTAL LAPISAN I+II														
12b	0,4170	1,0563	1,487	1,435	5,7075	72,0359	1,8505	0,8505	0,851	0	0	0,3746	0,3564	0,1154
WTOTAL LAPISAN I														
												11,6495	0,1154	

Tabel 5.20 Perhitungan Stabilitas Lereng Metode Bishop Untuk Sudut Kemiringan 75^0 dengan jumlah pias 14

titik	koordinat		$L \cdot OC = R$	6.000
	X	Y		
A	2	0	L BC	5,916
B	2	5	L CD	4,576
C	7,916	5	L OB	1,000
D	3,34	5	$L \cdot OA = R$	6.000
E	0	0	L OE	6.000
			L EA	2.000

Φ_1	28.000
Φ_2	38.000
Φ_3	35.000
c1	0,042
c2	0,035
c3	0,021
F0	2.300

Sudut COB	80,406
Sudut AOC	80,406

F	7,499	3,6
G	6,873	2,5
H	7,916	6
O	2	5

F1	1,573
F2	1,459
F3	1,437

pias ke	B	γ_1	γ_2	γ_3	x_i	a	y_i	h	h lap. 1	h lap. 2	h lap. 3	W
	(m)	(t/m3)	(t/m3)	(t/m3)	(m)	(°)	(m)	(m)	(m)	(m)	(m)	(t/m)
1	2	3	4	5	6	6	7	8	9	9	10	11
1	0,4226	1,0563	1,487	1,435	0,2113	2,0182	5,9963	0,7849	0	0	0,7849	0,4760
2a	0,2474	1,0563	1,487	1,435	0,5463	5,2240	5,9751	2,0139	0	0	2,0139	0,7150
W TOTAL LAPISAN II												
2b	0,1752	1,0563	1,487	1,435	0,7576	7,2539	5,9520	2,7794	0	0,327	2,4525	0,7017
3a	0,1198	1,0563	1,487	1,435	0,9051	8,6762	5,9313	3,3092	0	0,877	2,4318	0,5744
W TOTAL LAPISAN II+III												
3b	0,3028	1,0563	1,487	1,435	1,1164	10,7233	5,8952	4,0617	0,565	1,1	2,3967	1,7174
4a	0,0722	1,0563	1,487	1,435	1,3039	12,5515	5,8566	4,7228	1,265	1,1	2,3580	0,4589
4b	0,3508	1,0563	1,478	1,435	1,0928	10,4940	5,8996	4,8996	1,4	1,1	2,3996	2,2971
5	0,4226	1,0563	1,478	1,435	1,5513	14,9840	5,7960	4,7960	1,4	1,1	2,2960	2,7044
6	0,4226	1,0563	1,478	1,435	2,3247	22,7959	5,5313	4,5313	1,4	1,1	2,0313	2,5439
7	0,4226	1,0563	1,478	1,435	2,7473	27,2506	5,3341	4,3341	1,4	1,1	1,8341	2,4243
8	0,4226	1,0563	1,478	1,435	3,1699	31,5918	5,0943	4,0943	1,4	1,1	1,5943	2,2788
9	0,4226	1,0563	1,478	1,435	3,5925	36,7804	4,8056	3,8056	1,4	1,1	1,3056	2,1038
10	0,4226	1,0563	1,478	1,435	4,0151	42,0041	4,4586	3,4586	1,4	1,1	0,9586	1,8933
11	0,4226	1,0563	1,478	1,435	4,4377	47,6988	4,0382	3,0382	1,4	1,1	0,5382	1,6384
12a	0,2200	1,0563	1,487	1,435	4,7590	52,4824	3,6540	2,6540	1,4	1,1	0,1540	0,7338
W TOTAL LAPISAN I+II+III												
12b	0,2030	1,0563	1,487	1,435	4,9705	55,9364	3,3607	2,3607	1,4	0,961	0	0,5902
13	0,4226	1,0563	1,487	1,435	5,2833	61,7088	2,8437	1,8437	1,4	0,444	0	0,9038

T 1 1721 Dokumentasi Stabilitas Jereng Metode Fellinius Untuk Sudut Kemiringan 75^0 dengan jumlah pias 14

Tabel 5.21 Perhitungan Stabilitas Lereng Metode Fellinius Untuk Sudut Remlinjangan / β dengan Jarak antara Puncak		
titik	koordinat	
L	O	C = R
A	2	6,000
B	2	5,916
C	7,916	4,576
D	3,34	1,000
E	0	6,000
F	7,499	6,000
		Sudut COF
		13,984
		Sudut FOG
		12,107
		Sudut GOA
		54,315
		LCF
		1,464
		LCG
		1,268
		LGA
		5,688
		LOE
		6,000
		LEA
		2,000
		Sudut COB
		80,406
		c1
		0,042
		c2
		0,035
		c3
		LACxC
		0,225
		W cos α x tg nθ
		15,144
		F
		1,382

pias ke	B	γ_1	γ_2	γ_3	x_i	θ	y_i	h	h lap. 1	h lap. 2	h lap. 3	W	W sin θ	W cos θ
	(m)	(t/m3)	(t/m3)	(t/m3)	(m)	(°)	(m)	(m)	(m)	(m)	(m)	(t/m)	(t/m)	(t/m)
1	0,4226	1,0563	1,487	1,435	0,2113	2,0182	5,9963	0,7849	0	0	0,7849	0,4760	0,0168	0,4757
2a	0,2474	1,0563	1,487	1,435	0,5463	5,2240	5,9751	2,0139	0	0	2,0139	0,7150	0,0651	0,7120
														1,1877
W TOTAL LAPISAN III														0,6961
2b	0,1752	1,0563	1,487	1,435	0,7576	7,2539	5,9520	2,7794	0	0,327	2,4525	0,7017	0,0886	0,6961
3a	0,1198	1,0563	1,487	1,435	0,7299	6,9873	5,9554	3,33332	0	0,224	3,1098	0,5744	0,0699	0,5702
W TOTAL LAPISAN III+II														1,2663
3b	0,3028	1,0563	1,487	1,435	1,1164	10,7233	5,8952	3,6146	0,565	1,1	1,9496	1,5231	0,2835	1,4965
4a	0,0722	1,0563	1,487	1,435	1,3039	12,5515	5,8566	4,2757	0,135	1,1	3,0410	0,4434	0,0964	0,4328
4b	0,3508	1,0563	1,487	1,435	1,5154	14,6294	5,8055	4,8055	1,4	1,1	2,3055	2,2531	0,5693	2,1800

5	0,4226	1,0563	1,478	1,435	1,4795	14,2754	5,8147	4,8147	1,4	1,1	2,3147	2,7157	0,6699	2,6318
6	0,4226	1,0563	1,478	1,435	1,9021	18,4826	5,6905	4,6905	1,4	1,1	2,1905	2,6404	0,8374	2,5041
7	0,4226	1,0563	1,478	1,435	2,7473	27,2506	5,3341	4,8147	1,4	1,1	2,3147	2,7157	1,2440	2,4141
8	0,4226	1,0563	1,478	1,435	3,1699	31,8918	5,0943	4,0943	1,4	1,1	1,5943	2,2788	1,2044	1,9346
9	0,4226	1,0563	1,478	1,435	3,5925	36,7804	4,8056	3,8056	1,4	1,1	1,3056	2,1038	1,2601	1,6847
10	0,4226	1,0563	1,478	1,435	4,0151	42,0041	4,4586	3,4586	1,4	1,1	0,9586	1,8933	1,2674	1,4066
11	0,4226	1,0563	1,478	1,435	4,4377	47,6988	4,0382	3,0382	1,4	1,1	0,5382	1,6384	1,2121	1,1023
12a	0,2200	1,0563	1,487	1,435	4,7590	52,4824	3,6540	2,6540	1,4	1,1	0,1540	0,7338	0,5822	0,4467
W TOTAL LAPISAN I+II+III														
12b	0,2030	1,0563	1,487	1,435	4,9705	55,9364	3,3607	2,3607	1,4	0,961	0	0,5902	0,4891	18,2341
13	0,4226	1,0563	1,487	1,435	5,2833	61,7088	2,8437	1,8437	1,4	0,444	0	0,9038	0,7960	0,3304
14a	0,0052	1,0563	1,487	1,435	5,4972	66,3767	2,4043	1,4043	1,4	0,004	0	0,0077	0,0071	0,4280
W TOTAL LAPISAN I+II														
14b	0,417	1,0563	1,487	1,435	5,7033	71,9063	1,8634	0,8634	0,863	0	0	0,3807	0,3619	0,1180
W TOTAL LAPISAN I														
												11,1212	0,1180	

Jadi koordinat D (4,887;5).

$$L\overline{CD} = XC - XD = 7,916 - 4,887 = 3,029 \text{ m.}$$

Koordinat E didapat: (0,0).

$$L\overline{OB} = YO - YB = 6 - 5 = 1 \text{ m.}$$

$$L\overline{OC} = R = \sqrt{(XA - XO)^2 + (YA - YO)^2} = \sqrt{(2 - 2)^2 + (2 - 6)^2} = 6 \text{ m.}$$

$$L\overline{OA} = R = 6 \text{ m}$$

$$L\overline{OE} = YO - YE = 6 - 0 = 6 \text{ m}$$

$$L\overline{EA} = XA - XE = 2 - 0 = 2 \text{ m.}$$

Koordinat F:

$$XF = \sqrt{(\overline{LOA})^2 + (\overline{LOE} - YF)^2} + 2 = \sqrt{(6)^2 + (6 - 3,6)^2} + 2 = 7,499 \text{ m.}$$

$$YF = H_2 + H_3 = 2,5 + 1,1 = 3,6 \text{ m.}$$

Jadi koordinat F: (7,499;3,6).

Koordinat G:

$$XG = \sqrt{(\overline{LOA})^2 + (\overline{LOE} - YG)^2} + 2 = \sqrt{(6)^2 + (6 - 2,5)^2} + 2 = 6,873 \text{ m.}$$

$$YG = H_3 = 2,5 \text{ m.}$$

Jadi koordinat F: (6,873;2,5).

Koordinat H: (XC, YO) = (7,916;6).

$$\angle COB = \arctan \frac{L\overline{BC}}{L\overline{OB}} = \arctan \frac{6}{1} = 80,406^\circ.$$

$$\angle AOC = 90^\circ - \angle AOE = 90^\circ - 19,471^\circ = 80,406^\circ.$$

$$\angle COF = 2 \times \arcsin \left(\frac{\sqrt{(XC - XF)^2 + (YC - YF)^2} / 2}{R} \right) = 13,984^\circ.$$

$$\angle FOG = 2 \times \arcsin \left(\frac{\sqrt{(XF - XG)^2 + (YF - YG)^2} / 2}{R} \right) = 12,107^\circ.$$

$$\angle GOA = \arcsin \left(\frac{\sqrt{(XG - XA)^2 + (YG - YA)^2} / 2}{R} \right) = 54,315^\circ.$$

$$L \overline{CF} = \frac{\angle COF}{360} \times 2\pi \times R = 1,464 \text{ m.}$$

$$L \overline{FG} = \frac{\angle COF}{360} \times 2\pi \times R = 1,268 \text{ m.}$$

$$L \overline{GA} = \frac{\angle COF}{360} \times 2\pi \times R = 5,688 \text{ m.}$$

$$\varphi_1 = 28; \quad \varphi_2 = 38; \quad \varphi_3 = 35.$$

$$c_1 = 0,042; \quad C_2 = 0,035; \quad C_3 = 0,021.$$

$$\text{Lebar tiap pias} = \frac{L \overline{CD}}{6} = 0,986 \text{ m.}$$

Hitungan untuk pias 1 dengan metode Bishop:

$$x_1 = \frac{1}{2} \times B_1 = \frac{1}{2} \times 0,986 = 0,4930 \text{ m.}$$

$$\theta_1 = \arcsin \frac{x_1}{R} = 4,7131^\circ.$$

$$y_1 = \frac{x_1}{\tan \theta_1} = 5,9797 \text{ m.}$$

$$h_1 = (x_1 \tan \alpha) - (L \overline{OE} - y_1) = 0,8336 \text{ m.}$$

$$\begin{aligned} W &= (B_{1a} \times h_1 \times \gamma_1) + (B_{1a} \times h_2 \times \gamma_2) + (B_{1a} \times h_3 \times \gamma_3) \\ &= (0,670 \times 0 \times 1,0563) + (0,670 \times 1,487) + (0,670 \times 0,8336 \times 1,435) \\ &= 1,1795 \text{ t/m.} \end{aligned}$$

$$C_r \times B_1 = C_3 \times B_{1a} = 0,0207 \text{ t/m.}$$

Tabel 5.22 Perhitungan Stabilitas Lereng Metode Bishop Untuk Sudut Kemiringan 60° dengan jumlah pias 6

titik	koordinat		L OC = R	6,000	28,000
	X	Y			
A	2	0	L BC	5,916	38,000
B	2	5	L CD	3,029	35,000
C	7,916	5	L OB	1,000	0,042
D	4,89	5	L OA = R	6,000	0,035
E	0	0	L OE	6,000	0,021
F	7,499	3,6	L EA	2,000	1,300
G	6,873	2,5	Sudut COB	80,406	F1
H	7,916	6	Sudut AOC	80,406	1,298
O	2	6			F2
					F3
					1,297

pias ke	B	γ1	γ2	γ3	xi	θ	yi	h	h lap. 1		h lap. 2		h lap. 3		W
									(m)	(t/m3)	(m)	(m)	(m)	(m)	
1	1	2	3	4	5	6	7	8	9	10	11	12			
1	0,986	1,0563	1,487	1,435	0,4930	4,7131	5,9797	0,8336	0	0	0,8336	1,1795			
2a	0,457	1,0563	1,487	1,435	1,2147	11,6803	5,8757	1,9796	0	0	1,9796	1,2993			
W TOTAL LAPISAN III															
2b	0,529	1,0563	1,487	1,435	1,7077	16,5359	5,7517	2,7095	0	0,46	2,2517	2,0678			
3a	0,1065	1,0563	1,487	1,435	2,0253	19,7272	5,5220	3,0299	0	1,01	2,0221	0,4686			
W TOTAL LAPISAN II+III															
3b	0,809	1,0563	1,487	1,435	2,4828	24,4432	5,4618	3,7621	0,70018	1,1	1,9619	4,1966			
3c	0,071	1,0563	1,487	1,435	2,9225	29,1491	5,2395	4,2395	1,4	1,1	1,7395	0,3984			
4	0,986	1,0563	1,478	1,435	3,4510	35,1113	4,9074	3,9074	1,4	1,1	1,4074	5,0525			
5a	0,057	1,0563	1,487	1,435	3,9725	41,4590	4,4954	3,4954	1,4	1,1	0,9954	0,2589			
W TOTAL LAPISAN I+II+III															
5b	0,929	1,0563	1,487	1,435	4,4655	48,0947	4,0074	3,0059	1,4	1,606	0	3,5922			

Tabel 5.23 Perhitungan Stabilitas Lereng Metode Fellinius Untuk Sudut Kemiringan 60° dengan jumlah pias 6

titik	koordinat		$L \cdot C = R$	6,000
	X	Y		
A	2	0	L BC	5,916
B	2	5	L CD	3,029
C	7,916	5	L OB	1,000
D	4,89	5	$L \cdot A = R$	6,000
E	0	0	L OE	6,000
F	7,499	3,6	L EA	2,000
G	6,873	2,5	Sudut COB	80,406
H	7,916	6	Sudut AOC	80,406
O	2	6		35,000

pias ke	B	γ_1 (m)	γ_2 (t/m ³)	γ_3 (t/m ³)	θ (°)	xi (m)	yi (m)	h (m)	h lap. 1 (m)	h lap. 2 (m)	h lap. 3 (m)	W (t/m)	W sin θ (t/m)	W cos θ (t/m)
1	0,986	1,0563	1,487	1,435	0,4930	4,7131	5,9797	0,8336	0	0	0,8336	1,1795	0,0970	1,1755
2a	0,457	1,0563	1,487	1,435	1,2147	11,6803	5,8757	1,9796	0	0	1,9796	1,2993	0,2632	1,2724
WTOTAL LAPISAN I														
2b	0,529	1,0563	1,487	1,435	1,7077	16,5359	5,7517	2,7095	0	0	0,46	2,2517	2,0678	0,5888
3a	0,1065	1,0563	1,487	1,435	2,0253	19,7272	5,6476	3,15542	0	0	1,01	2,1476	0,4878	0,1647
WTOTAL LAPISAN II+III														
3b	0,809	1,0563	1,487	1,435	2,4828	24,4432	5,4618	3,8674	0,70018	1,1	2,0673	4,3189	1,7878	3,9318
3c	0,071	1,0563	1,487	1,435	2,9225	29,1491	5,2395	4,2395	1,4	1,1	1,7395	0,3984	0,1941	0,3479
4	0,986	1,0563	1,478	1,435	3,4510	35,1113	4,9074	3,9074	1,4	1,1	1,4074	5,0525	2,9070	4,1331
5a	0,057	1,0563	1,487	1,435	3,9725	41,4590	4,4954	3,4954	1,4	1,1	0,9954	0,2589	0,1715	0,1941
WTOTAL LAPISAN I+II+III														
5b	0,929	1,0563	1,487	1,435	4,4655	48,0947	4,0074	3,0074	1,4	1,607	0	3,5943	2,6759	2,4007
6a	0,569	1,0563	1,487	1,435	5,2145	60,3523	2,9680	1,9680	1,4	0,568	0	1,3220	1,1492	0,6540

0,0092	0,3177	0,85878	0,868	1,08687	1,10184	1,10582	0,79860	0,78776	0,78492
0,0084	0,4065	0,93111	0,940	1,09493	1,11259	1,11729	0,85808	0,84446	0,84090
0,0094	0,5200	0,98311	0,992	1,10188	1,12328	1,12897	0,90070	0,88354	0,87909
0,0169	1,2215	1,95393	1,971	1,10354	1,12884	1,13557	1,78592	1,74591	1,73556
0,0023	0,1941	0,27913	0,281	1,10083	1,12897	1,13646	0,25566	0,24928	0,24764
0,0192	1,7061	2,20331	2,223	1,09343	1,12476	1,13310	2,03263	1,97601	1,96147
0,0192	1,7794	1,94438	1,964	1,06688	1,10390	1,11375	1,84052	1,77878	1,76305
0,0192	1,6971	1,60727	1,627	1,01840	1,06112	1,07248	1,59712	1,53281	1,51657
0,0046	0,3640	0,31849	0,323	0,97303	1,01927	1,03157	0,33200	0,31694	0,31316
0,0173	1,0014	0,92098	0,938	0,96976	1,02453	1,03911	0,96751	0,91578	0,90294
0,0067	0,2777	0,24061	0,247	0,90158	0,95972	0,97518	0,27429	0,25767	0,25359
0,0175	0,3564	0,19929	0,217	0,64535	0,68707	0,69817	0,33595	0,31555	0,31054
	10,2219						13,64544	13,25733	13,15868

Tabel 5.27 Perhitungan Stabilitas Lereng Metode Fellinius Untuk Sudut Kemiringan 60^0 dengan jumlah pias 10									
titik	koordinat		$L \cdot OC = R$		$L \cdot OA = R$		$L \cdot OB = R$		$L \cdot OD = R$
A	X	Y	6,000		13,984		13,984		0,042
B	2	0	5,916		12,107		12,107		0,035
C	2	5	3,029		54,315		54,315		0,021
D	7,916	5	1,000		1,464		1,464		0,225
E	4,89	5	6,000		1,268		1,268		11,368
F	0	0	6,000		1,148		1,148		5,688
G	7,499	3,6	2,000		28,000		28,000		0,000
H	6,873	2,5	80,406		38,000		38,000		35,000
I			Sudut AOC	80,406	q1		q1		
J					q2		q2		
K					q3		q3		

0,0022	0,1423	0,13616	0,138	1,06780	1,07279	1,07411	0,12956	0,12895	0,12880
0,0189	1,0301	0,93312	0,952	1,02419	1,02945	1,03084	0,92950	0,92474	0,92349
0,0029	0,1111	0,09541	0,098	0,96124	0,96680	0,96826	0,10228	0,10169	0,10154
0,0175	0,3564	0,19929	0,217	0,69726	0,70121	0,70225	0,31094	0,30919	0,30873
	10,2545						13,19690	13,16204	13,15289

Tabel 5.29 Perhitungan Stabilitas Lereng Metode Fellinius Untuk Sudut Kemiringan 60° dengan jumlah pias 12

titik	koordinat	$L_0C = R$	$L_0A = R$	L_0E	L_{EA}	$Sudut COB$	$Sudut COF$	$c1$	$0,042$
X	Y	6,000	6,000	6,000	2,000	13,984	13,984	c2	0,035
A	2	5,916	5,916	5,916	0	12,107	12,107	c3	0,021
B	2	3,029	3,029	3,029	5	54,315	54,315	LACxC	0,225
C	7,916	1,000	1,000	1,000	5	1,464	1,464	W cos $\alpha \times \operatorname{tgn} \theta$	13,489
D	4,89	6,000	6,000	6,000	5	1,268	1,268	F	1,279
E	0	6,000	6,000	6,000	0	5,688	5,688		
F	7,499	2,000	2,000	2,000	0	28,000	28,000		
G	6,873	80,406	80,406	80,406	3,6	38,000	38,000		
H	7,916	80,406	80,406	80,406	2,5	35,000	35,000		
O	2	6	6	6	6				

pias ke	B	y_1	y_2	y_3	x_1	θ	y_i	h	$h_{lap. 1}$	$h_{lap. 2}$	$h_{lap. 3}$	W	$W \sin \theta$	$W \cos \theta$
(m)	(m)	(m)	(m)	(m)	(m)	(°)	(m)	(m)	(m)	(m)	(m)	(N)	(N)	(N)
1	0,4930	1,0563	1,487	1,435	0,2465	2,3546	5,9949	0,4219	0	0	0	0,4219	0,2985	0,0123
2	0,4930	1,0563	1,487	1,435	0,7395	7,0797	5,9543	1,2351	0	0	0	1,2351	0,8738	0,1077
3a	0,4574	1,0563	1,487	1,435	1,2147	11,6803	5,8758	1,97968	0	0	0	1,9797	1,2994	0,2632
W TOTAL LAPISAN III													2,4378	
3b	0,0356	1,0563	1,487	1,435	1,4612	14,0952	5,8194	2,3502	0	0,031	2,3194	0,1201	0,0293	0,1165

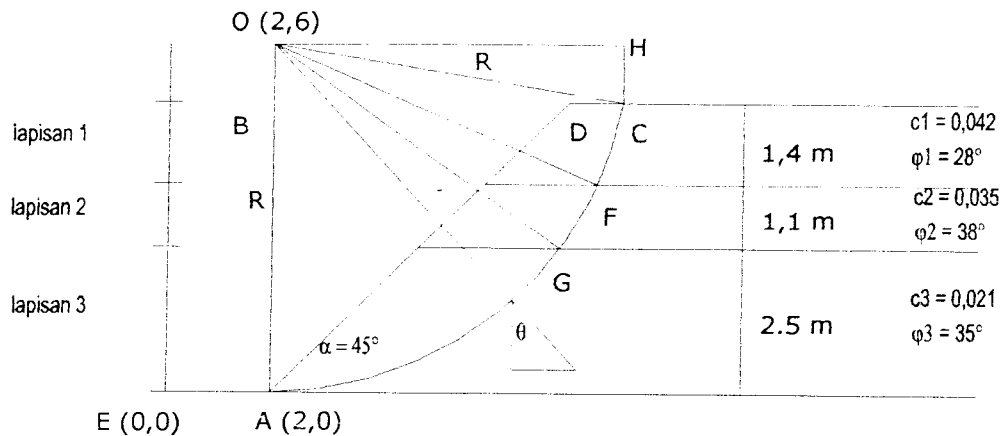
0,0175	0,3564	0,19929	0,217	0,70334	0,70438	0,70466	0,30825	0,30780	0,30768
	10,1692						12,98246	12,97343	12,97103

Tabel 5.31 Perhitungan Stabilitas Lereng Metode Fellinius Untuk Sudut Kemiringan 60° dengan jumlah pias 14

titik	koordinat		$\text{LOC} = \mathbf{R}$	6,000	Sudut COF	13,984	$\Sigma W \cos \alpha \times \operatorname{tg} \phi$	11,149	$\Sigma W \sin \alpha$	0,0568
	X	Y								
A	2	0	LBC	5,916	Sudut FOG	12,107			c2	0,035
B	2	5	LCD	3,029	Sudut GOA	54,315			c3	0,021
C	7,916	5	LOB	1,000	L CF	1,464			LACxc	0,225
D	4,89	5	$\text{LOA} = \mathbf{R}$	6,000	L FG	1,268				
E	0	0	LOE	6,000	L GA	5,688			F	1,114
F	7,499	3,6	LEA	2,000	φ_1	28,000				
G	6,873	2,5	Sudut COB	80,406	φ_2	38,000				
H	7,916	6	Sudut AOC	80,406	φ_3	35,000				
O	2	6								

pias ke	B	γ_1	γ_2	γ_3	x_i	θ	y_i	h	h lap. 1	h lap. 2	h lap. 3	W	$W \sin \alpha$	$W \cos \alpha$
	(m)	(t/m ³)	(t/m ³)	(t/m ³)	(m)	(°)	(m)	(m)	(m)	(m)	(m)	(t/m)	(t/m)	(t/m)
1	0,4226	1,0563	1,487	1,435	0,2113	2,0182	5,9963	0,3623	0	0	0	0,3623	0,2197	0,0077
2	0,4226	1,0563	1,487	1,435	0,6339	6,0646	5,9664	1,0644	0	0	0	1,0644	0,6455	0,0682
3	0,4226	1,0563	1,487	1,435	1,0565	10,1417	5,9063	1,7362	0	0	0	1,7362	1,0529	0,1855
4a	0,1756	1,0563	1,487	1,435	1,3556	13,0578	5,8449	2,1928	0	0	0	2,1928	0,5526	0,1249
W TOTAL LAPISAN III														
4b	0,2470	1,0563	1,487	1,435	1,3913	13,4080	5,8365	2,2463	0	0,214	2,0324	0,7989	0,1853	1,8978
5a	0,3881	1,0563	1,487	1,435	1,8845	18,3050	5,6964	2,9604	0	0,764	2,1964	1,6641	0,5229	0,7771
W TOTAL LAPISAN II+III														
5b	0,0345	1,0563	1,487	1,435	2,0958	20,4440	5,6221	3,2520	0,030	1,1	2,1222	0,1626	0,0568	0,1523

5.5 Perhitungan Untuk Sudut Kemiringan 45°



Gambar 5.5 Koordinat dan bidang longsor pada sudut 45°

Hitungan stabilitas lereng dengan sudut 60° dan jumlah pias 6.

Menentukan koordinat awal, titik $A = (2,0)$ dan $O = (2,6)$.

Koordinat $E = (0,0)$; koordinat B didapat $(2,5)$ dan koordinat $D = (7,5)$.

Panjang $OB = L\overline{OB} = 1 \text{ m}$, $L\overline{OA} = R = 6 \text{ m}$.

$$L\overline{BC} = \sqrt{L\overline{OA}^2 - L\overline{OB}^2} = \sqrt{6^2 - 1^2} = 5,916 \text{ m.}$$

Koordinat $C (XC, YC)$:

$$XC = L\overline{BC} + 2 = 5,916 + 2 = 7,916 \text{ m} ; \quad YC = 5,0 \text{ m.}$$

Jadi koordinat $C (7,916; 5)$.

Koordinat $D (XD, YD)$

$$YD = 5$$

$$XD = \frac{YD}{\tan \alpha} + 2 = \frac{5}{\tan 45^\circ} + 2 = 5 + 2 = 7$$

Tabel 5.32 Perhitungan Stabilitas Lereng Metode Bishop Untuk Sudut Kemiringan 45^0 dengan jumlah pias 6

titik	koordinat		$L \cdot OC = R$	6,000
	X	Y		
A	2	0	LBC	5,916
B	2	5	LCD	0,916
C	7,916	5	LOB	1,000
D	7	5	$LOA = R$	6,000
E	0	0	LOE	6,000
F	7,499	3,6	LEA	2,000
G	6,873	2,5	Sudut COB	80,406
H	7,916	6	Sudut AOC	80,406
O	2	6		

pias ke	B	γ_1 (t/m ³)	γ_2 (t/m ³)	γ_3 (t/m ³)	x_i (m)	θ (°)	y_i (m)	h (m)	$h_{lap. 1}$ (m)	$h_{lap. 2}$ (m)	$h_{lap. 3}$ (m)	W (t/m)
1	1	2	3	4	5	6	7	8	9	10	11	12
1	0,986	1,0563	1,487	1,435	0,4930	4,7131	5,9797	0,4727	0	0	0,4727	0,6688
2	0,986	1,0563	1,487	1,435	1,4790	14,2705	5,8149	1,2939	0	0	1,2939	1,8307
3a	0,528	1,0563	1,487	1,435	2,2360	21,8802	5,5678	1,8038	0	0	1,8038	1,3667
WTOTAL LAPISAN III												
3b	0,458	1,0563	1,487	1,435	2,7290	27,0542	5,3435	2,0725	0	0,2290	1,8435	1,3675
4a	0,642	1,0563	1,487	1,435	3,2790	33,1272	5,0248	2,3038	0	0,3633	1,9405	2,1345
WTOTAL LAPISAN II+III												
4b	0,344	1,0563	1,487	1,435	3,7720	38,9518	4,6660	2,4380	0,172	1,1	1,1660	1,2008
5a	0,929	1,0563	1,487	1,435	4,4085	47,2861	4,0700	2,4785	0,8085	1,1	0,5700	3,0729
WTOTAL LAPISAN I+II+III												
5b	0,057	1,0563	1,487	1,435	4,9015	54,7773	3,4605	2,3620	1,3015	1,0605	0	0,1683
6a	0,070	1,0563	1,487	1,435	4,965	55,8428	3,3688	2,3338	1,365	0,9688	0	0,2018

Tabel 5.33 Perhitungan Stabilitas Lereng Metode Fellinius Untuk Sudut Kemiringan 45^0 dengan jumlah pias 6

titik		koordinat	
	X	Y	
A	2	0	L OC = R
B	2	5	L BC
C	7,916	5	L CD
D	7	5	L OB
E	0	0	L OA = R
F	7,499	3,6	L OE
G	6,873	2,5	L EA
H	7,916	6	Sudut COB
O	2	6	Sudut AOC

5b	0,0975	1,0563	1,487	1,435	3,6488	37,454	4,7630	2,4118	0,0488	1,1	1,2630	0,3412
6	0,7395	1,0563	1,487	1,435	4,0673	42,678	4,4111	2,4783	0,4673	1,1	0,9111	2,5414
7a	0,4360	1,0563	1,487	1,435	4,6550	50,881	3,7856	2,4406	1,0550	1,1	0,2856	1,3777
W TOTAL LAPISAN I+II+III												
7b	0,1270	1,0563	1,478	1,435	4,9365	55,361	3,4104	2,3469	1,3365	1,0104	0	0,3690
7c	0,11765	1,0563	1,478	1,435	5,0883	57,999	3,1796	2,1796	1,4	0,7796	0	0,4644
8a	0,3225	1,0563	1,487	1,435	5,0343	57,039	3,2644	2,2644	1,4	0,8644	0	0,8915
W TOTAL LAPISAN I+II												
8c	0,417	1,0563	1,487	1,435	5,7075	72,036	1,8505	0,8505	0,851	0	0	0,3746
W TOTAL LAPISAN I												

Tabel 5.34 Perhitungan Stabilitas Lereng Metode Bishop Untuk Sudut Kemiringan 45° dengan jumlah pias 8 (lanjutan)

cxB (t/m)	W sin θ (t/m)	W tg ϕ (t/m)	13+15			Mi (t/m)			16/17 (t/m)			
			F0	F1	1,140	F1	1,140	F0	1,141	F0	1,140	F2
13	14	15	16	17a	17b	17c	17c	18a	18a	18b	18b	18c
0,0155	0,0234	0,26641	0,282	1,03598	1,03597	1,03596	0,27214	0,27215	0,27215	0,27215	0,27215	0,27215
0,0155	0,1974	0,74777	0,763	1,09641	1,09636	1,09635	0,69618	0,69621	0,69621	0,69622	0,69622	0,69622
0,0155	0,5092	1,1574	1,173	1,14074	1,14066	1,14064	1,02822	1,02822	1,02822	1,02831	1,02831	1,02831
0,0059	0,2981	0,53089	0,537	1,16112	1,16102	1,16099	0,46231	0,46235	0,46235	0,46236	0,46236	0,46236
0,0127	0,6222	0,95806	0,971	1,17011	1,17000	1,16996	0,82964	0,82972	0,82974	0,82974	0,82974	0,82974
0,0178	1,1745	1,5051	1,523	1,17330	1,17316	1,17312	1,29798	1,29813	1,29817	1,29817	1,29817	1,29817
0,0032	0,2076	0,23905	0,242	1,16753	1,16738	1,16733	0,20746	0,20749	0,20750	0,20750	0,20750	0,20750
0,0240	1,7233	1,78043	1,804	1,15169	1,15153	1,15147	1,56680	1,56702	1,56709	1,56709	1,56709	1,56709
0,0142	1,0692	0,96521	0,979	1,10758	1,10739	1,10733	0,88426	0,88441	0,88445	0,88445	0,88445	0,88445
0,0049	0,3036	0,25848	0,263	1,13241	1,13219	1,13212	0,23255	0,23259	0,23261	0,23261	0,23261	0,23261

pias ke	B	Y1	Y2	Y3	X1	θ	y_i	h	h lap. 1	h lap. 2	h lap. 3	W	W sin θ	W cos θ
	(m)	(t/m3)	(t/m3)	(m)	(m)	(°)	(m)	(m)	(m)	(m)	(m)	(t/m)	(t/m)	(t/m)
1	0,5916	1,0563	1,487	1,435	0,2958	2,8258	5,9927	0,2885	0	0	0,2885	0,2449	0,0121	0,2446
2	0,5916	1,0563	1,487	1,435	0,8874	8,5052	5,9340	0,8214	0	0	0,8214	0,6973	0,1032	0,6897
3	0,5916	1,0563	1,487	1,435	1,4790	14,2705	5,8149	1,2939	0	0	1,2939	1,0984	0,2709	1,0645
4	0,5916	1,0563	1,487	1,435	2,0706	20,1879	5,6314	1,7020	0	0	1,7020	1,4449	0,4988	1,3561
5a	0,1336	1,0563	1,487	1,435	2,4332	23,9246	5,4845	1,9177	0	0	1,9177	0,3677	0,1492	0,3360
WTOTAL LAPISAN III														
5b	0,4580	1,0563	1,487	1,435	2,7290	27,0542	5,3435	2,0725	0	0	0,229	1,8435	1,3675	1,9988
6	0,5916	1,0563	1,487	1,435	3,2538	32,8403	5,0411	2,2949	0	0	0,754	1,5411	1,9714	1,0695
7a	0,0504	1,0563	1,487	1,435	2,9832	29,8149	5,2058	2,1890	0	0	1,075	1,1142	0,1611	0,1398
WTOTAL LAPISAN II+III														
7b	0,5412	1,0563	1,487	1,435	3,8706	40,1732	4,5846	2,4552	0,271	1,1	1,0846	1,8823	1,2146	1,4379
8	0,5916	1,0563	1,487	1,435	4,4370	47,6888	4,0389	2,4759	0,837	1,1	0,5389	1,9483	1,4412	1,3110
9a	0,1402	1,0563	1,487	1,435	4,8029	53,1763	3,5961	2,3990	1,203	1,1	0,0961	0,4268	0,3417	0,2557
WTOTAL LAPISAN I+II+III														
9b	0,1270	1,0563	1,487	1,435	4,9365	55,3610	3,4104	2,3469	1,337	1,010	0	0,3701	0,3046	0,2103
9c	0,3244	1,0563	1,487	1,435	5,1622	59,3578	3,0581	2,058	1,4	0,658	0	0,7972	0,6860	0,4060
10a	0,1746	1,0563	1,487	1,435	5,4117	64,4156	2,5910	1,591	1,4	0,191	0	0,3078	0,2777	0,1328
WTOTAL LAPISAN I+II														
10c	0,4170	1,0563	1,487	1,435	5,7075	72,0359	1,8505	0,851	0	0	0	0,3746	0,3564	0,2103
WTOTAL LAPISAN I														
												5,7364	0,1154	

9	0,4930	1,0563	1,487	1,435	4,1905	44,3001	4,2941	2,4846	0,5905	1,1	0,7941	1,6757
10a	0,4360	1,0563	1,487	1,435	4,6550	50,8806	3,7856	2,4406	1,0550	1,1	0,2856	1,3777
W TOTAL LAPISAN I+II+III												
10b	0,0570	1,0563	1,487	1,435	4,9015	54,7773	3,4605	2,3620	1,3015	1,061	0	0,1683
11a	0,0070	1,0563	1,487	1,435	4,9335	55,3107	3,4148	2,3483	1,3335	1,015	0	0,0204
11b	0,4860	1,0563	1,487	1,435	5,1800	59,6929	3,0278	2,0278	1,4	0,628	0	1,1724
12a	0,0760	1,0563	1,487	1,435	5,4610	65,5284	2,4855	1,4855	1,4	0,085	0	0,1220
W TOTAL LAPISAN I+II												
12b	0,4170	1,0563	1,487	1,435	5,7075	72,0359	1,8505	0,8505	0,851	0	0	0,3746
W TOTAL LAPISAN I												

Tabel 5.38 Perhitungan Stabilitas Lereng Metode Bishop Untuk Sudut Kemiringan 45^0 dengan jumlah pias 12 (lanjutan)

cxB (t/m)	W sin θ (t/m)	W tg ϕ (t/m)	13+15			Mi (t/m)	16/17 (t/m)			F0	1,200	F1	1,171	F2	1,162
			F0	1,200	F1		F0	1,200	F1		1,171	F2	1,162		
13	14	15	16	17a	17b	17c	17c	18a	18b	18b	18c				
0,0104	0,0070	0,11966	0,130	1,02315	1,02374	1,02392	1,02392	0,12707	0,12700	0,12700	0,12698				
0,0104	0,0605	0,34384	0,354	1,06435	1,06613	1,06668	1,06668	0,33278	0,33222	0,33222	0,33205				
0,0104	0,1606	0,54744	0,558	1,09863	1,10159	1,10251	1,10251	0,50772	0,50635	0,50635	0,50593				
0,0104	0,2996	0,72958	0,740	1,12568	1,12983	1,13111	1,13111	0,65732	0,65490	0,65490	0,65416				
0,0104	0,4693	0,88888	0,899	1,14502	1,15035	1,15200	1,15200	0,78527	0,78163	0,78163	0,78051				
0,0007	0,0404	0,06843	0,069	1,15196	1,15196	1,15977	1,15977	0,06004	0,06004	0,06004	0,05964				
0,0127	0,6222	0,95806	0,971	1,15613	1,16268	1,16471	1,16471	0,83967	0,83494	0,83494	0,83349				
0,0137	0,8703	1,14124	1,155	1,15723	1,16493	1,16731	1,16731	0,99800	0,99141	0,99141	0,98939				
0,0041	0,3038	0,36215	0,366	1,15217	1,16064	1,16326	1,16326	0,31790	0,31559	0,31559	0,31487				
0,0112	0,7552	0,84124	0,852	1,14465	1,15371	1,15651	1,15651	0,74470	0,73885	0,73885	0,73706				
0,0160	1,1707	1,17397	1,190	1,12335	1,13341	1,13653	1,13653	1,05933	1,04992	1,04992	1,04705				

4	0,4930	1,0563	1,487	1,435	1,7255	16,7133	5,7465	1,4720	0	0	1,4720	1,0414	0,2996	0,9974
5	0,4930	1,0563	1,487	1,435	2,2185	21,7002	5,5748	1,7933	0	0	1,7933	1,2687	0,4693	1,1787
6a	0,035	1,0563	1,487	1,435	2,4825	24,4406	5,4623	1,9448	0	0	1,9448	0,0977	0,0404	0,0889
WTOTAL LAPISAN III														
6b	0,4580	1,0563	1,487	1,435	2,7290	27,0542	5,3435	2,0725	0	0,229	1,8435	1,3675	0,6222	1,2178
7	0,493	1,0563	1,487	1,435	3,2045	32,2818	5,0726	2,2771	0	0,705	1,5726	1,6290	0,8703	1,3770
8a	0,149	1,0563	1,487	1,435	3,5255	35,9857	4,8550	2,3805	1	1,026	0,3550	0,4605	0,2707	0,3726
WTOTAL LAPISAN II+III														
8b	0,3440	1,0563	1,487	1,435	3,7720	38,9518	4,6660	2,4380	0,1720	1,1	1,1660	1,2008	0,7552	0,9336
9	0,4930	1,0563	1,487	1,435	4,1905	44,3001	4,2941	2,4846	0,5905	1,1	0,7941	1,6757	1,1707	1,1989
10a	0,4360	1,0563	1,487	1,435	4,6550	50,8806	3,7856	2,4406	1,0550	1,1	0,2856	1,3777	1,0692	0,8689
WTOTAL LAPISAN I+II+III														
10b	0,0570	1,0563	1,487	1,435	4,9015	54,7773	3,4605	2,3620	1,3015	1,061	0	0,1683	0,1375	0,0970
11a	0,0070	1,0563	1,487	1,435	4,8765	54,3655	3,4957	2,3722	1,3335	1,039	0	0,0207	0,0168	0,0120
11b	0,4860	1,0563	1,487	1,435	5,1800	59,6929	3,0278	2,0278	1,4	0,628	0	1,1724	1,0124	0,5912
12a	0,0760	1,0563	1,487	1,435	5,4610	65,5284	2,4855	1,4855	1,4	0,085	0	0,1220	0,1111	0,0505
WTOTAL LAPISAN I+II														
12b	0,4170	1,0563	1,487	1,435	5,7075	72,0359	1,8505	0,8505	0,851	0	0	0,3746	0,3564	0,1154
WTOTAL LAPISAN I														
WTOTAL LAPISAN I+II+III														
WTOTAL LAPISAN I														

Tabel 5.40 Perhitungan Stabilitas Lereng Metode Bishop Untuk Sudut Kemiringan 45^0 dengan jumlah pias 14

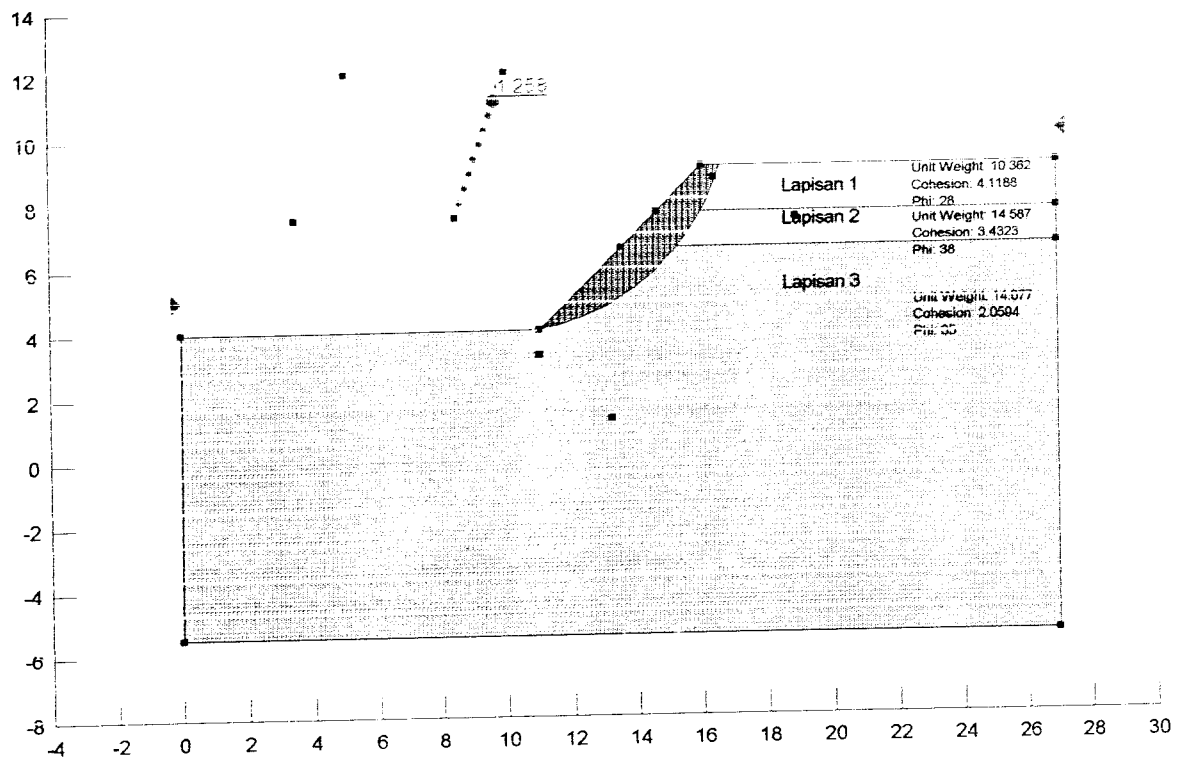
titik	koordinat	$L_{OC} = R$	
		X	Y
A	2	0	6,000
B	2	5	5,916
C	7,916	5	0,916
D	7	5	1,000
E	0	0	1,000
$L_{OA} = R$		Φ_1	
		6,000	28,000
L_{OE}		Φ_2	
		6,000	38,000
L_{EA}		Φ_3	
		6,000	35,000
L_{OB}		c_1	
		6,000	0,042
L_{OF}		c_2	
		6,000	0,035
L_{OD}		c_3	
		6,000	0,021
L_{OF}		F_0	
		2,000	2,200

0,0162	0,7967	0,70723	0,723	0,78673	0,96611	1,02313	0,91950	0,74877	0,70704
0,0002	0,0071	0,00605	0,006	0,72617	0,91281	0,97214	0,00860	0,00684	0,00643
0,0175	0,3565	0,19934	0,217	0,53790	0,66978	0,71171	0,40318	0,32379	0,30472
7,4570							10,42753	9,34510	9,05590

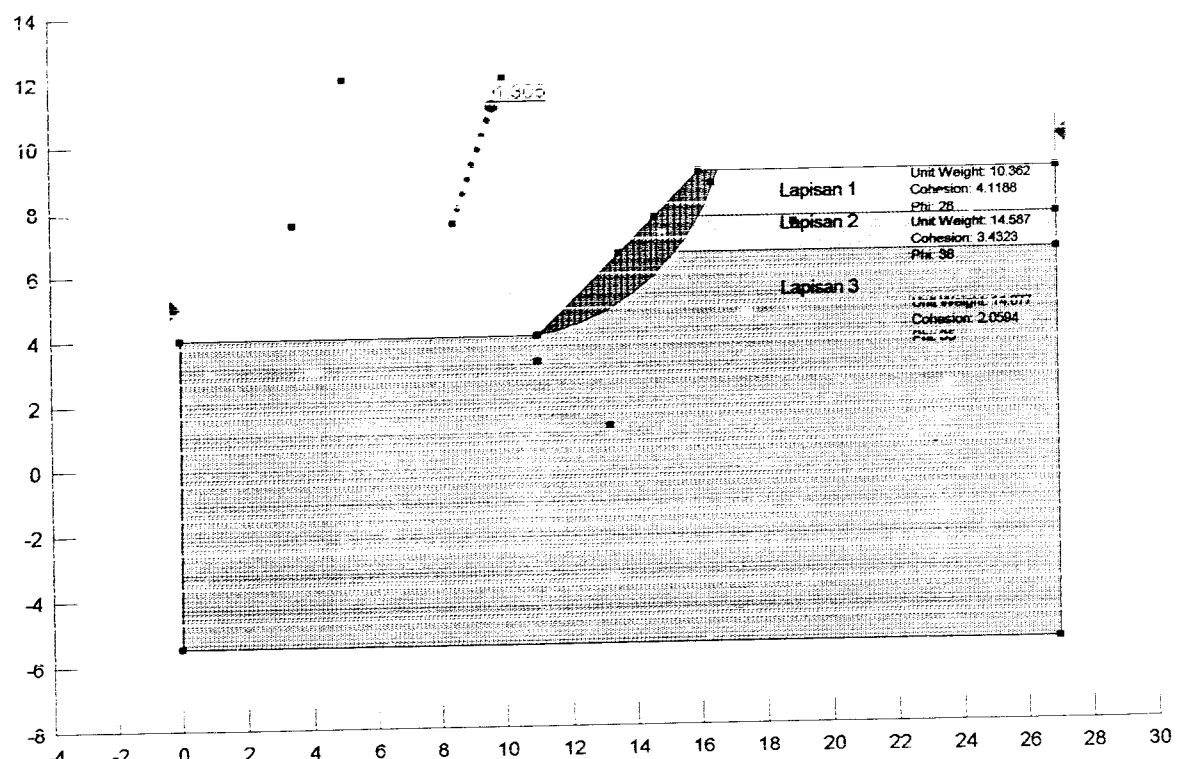
Tabel 5.41 Perhitungan Stabilitas Lereng Metode Fellinius Untuk Sudut Kemiringan 45^0 dengan jumlah pias 14

titik			koordinat		titik		koordinat	
	X	Y	X	Y		X	Y	
A	2	0	L OC = R	6,000	Sudut COF	13,984	c1	0,042
B	2	5	L BC	5,916	Sudut FOG	12,107	c2	0,035
C	7,916	5	L CD	0,916	Sudut GOA	54,315	c3	0,021
D	7	5	L OB	1,000	L CF	1,464	LACxc	0,225
E	0	0	L OA = R	6,000	L FG	1,268	$\Sigma V \cos \alpha \times \operatorname{tgn} \phi$	7,435
F	7,499	3,6	L OE	6,000	L GA	5,688	F	1,027
G	6,873	2,5	L EA	2,000	q1	28,000		
H	7,212	2	Sudut COB	80,406	q2	38,000		
I	7,212	2	Sudut AOC	80,406	q3	35,000		

6b	0,0356	1,0563	1,487	1,435	2,5178	24,8114	5,4462	1,9640	0	0,018	1,9462	0,1004	0,0421	0,0911
7	0,4226	1,0563	1,487	1,435	2,7469	27,2463	5,3343	2,0812	0	0,247	1,8343	1,2675	0,5805	1,1268
8	0,4226	1,0563	1,487	1,435	3,1695	31,8873	5,0945	2,2640	0	0,670	1,5945	1,3877	0,7333	1,1781
9a	0,2192	1,0563	1,487	1,435	3,4904	35,5725	4,8803	2,3707	0	0,990	1,3803	0,7570	0,4405	0,6156
W TOTAL LAPISAN II+III														
9b	0,2034	1,0563	1,487	1,435	3,7017	38,0957	4,7220	2,4237	0,102	1,1	1,2220	0,7112	0,4389	3,0116
10	0,4226	1,0563	1,487	1,435	4,0147	41,9989	4,4589	2,4736	0,415	1,1	0,9589	1,4579	0,9758	0,5596
11	0,4226	1,0563	1,487	1,435	4,4373	47,6931	4,0386	2,4759	0,837	1,1	0,5386	1,3916	1,0295	1,0832
12a	0,2244	1,0563	1,478	1,435	4,7608	52,5107	3,6517	2,4125	1,161	1,1	0,1517	0,6888	0,5467	0,9364
W TOTAL LAPISAN I+II+III														
12b	0,1270	1,0563	1,487	1,435	4,9365	55,3610	3,4104	2,3469	1,337	1,010	0	0,3701	0,3046	2,9982
12c	0,0712	1,0563	1,487	1,435	5,0356	57,0628	3,2623	2,2623	1,4	0,862	0	0,1966	0,1650	0,2103
13	0,4226	1,0563	1,487	1,435	5,2825	61,6927	2,8452	1,8452	1,4	0,445	0	0,9047	0,7967	0,1068
14a	0,0052	1,0563	1,487	1,435	5,4964	66,3577	2,4062	1,4062	1,4	0,006	0	0,0077	0,0071	0,4287
W TOTAL LAPISAN I+II														
14b	0,4174	1,0563	1,487	1,435	5,7077	72,0421	1,8499	0,8499	0	0	0,3747	0,3565	0,1154	0,7488
W TOTAL LAPISAN I														
												7,4570	0,1154	



Gambar 5.7 Tampilan *Output* untuk Metode Fellinius Sudut Kemiringan 45^0



Gambar 5.8 Tampilan *Output* untuk Metode Bishop Sudut Kemiringan 45^0

Kordinat titik O untuk metode Fellinius = metode Bishop:

$$X\text{-Coordinate} = 9.685$$

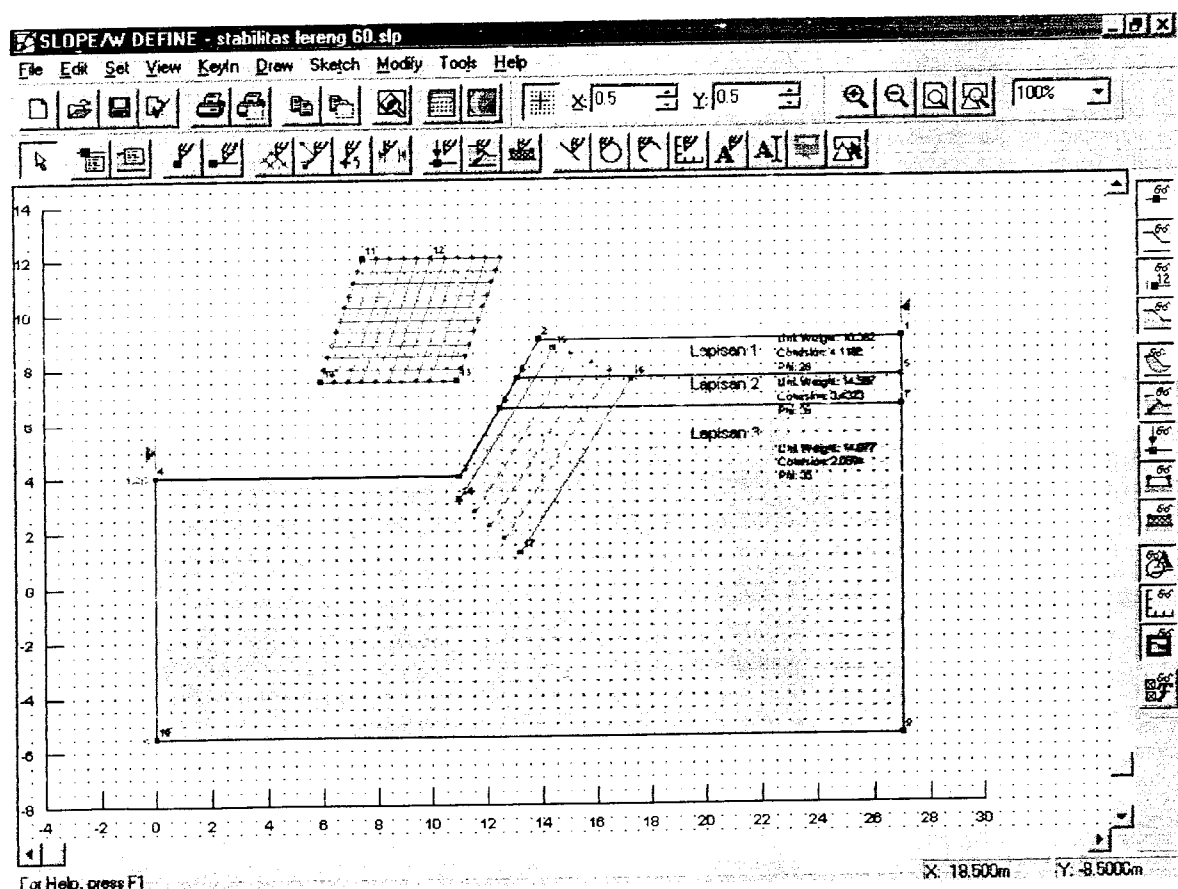
$$Y\text{-Coordinate} = 11.095$$

Nilai SF:

$$SF \text{ Fellinius} = 1,258$$

$$SF \text{ Bishop} = 1,305$$

5.6.2 Perhitungan sudut kemiringan 60°



Gambar 5.9 Tampilan Input Data Sudut Kemiringan 60°

Kordinat titik O untuk metode Fellinius = metode Bishop:

$$X\text{-Coordinate} = 9.0675$$

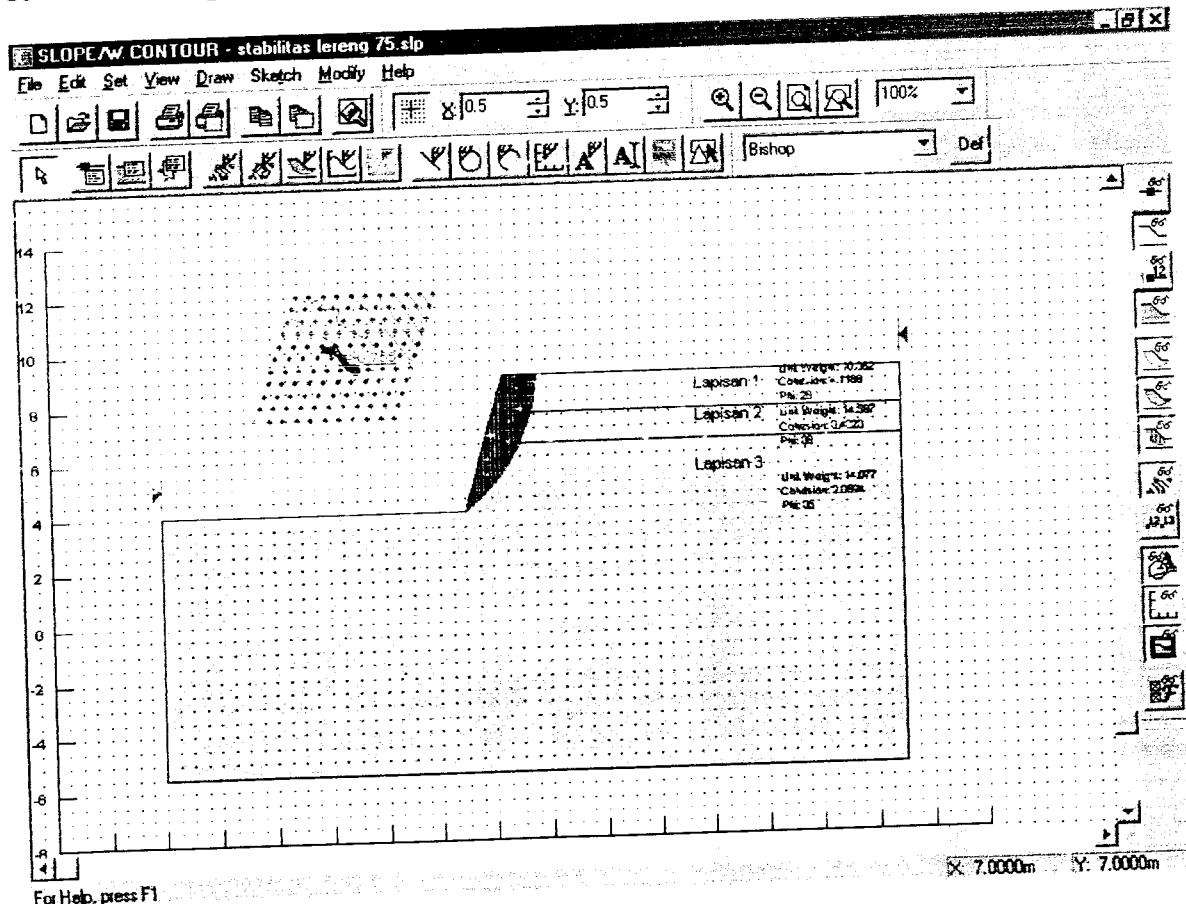
$$Y\text{-Coordinate} = 9.3$$

Nilai SF:

$$SF \text{ Fellinius} = 0,974$$

$$SF \text{ Bishop} = 0.988$$

5.6.3 Perhitungan sudut kemiringan 75^0



Gambar 5.12 Tampilan Input Data Sudut Kemiringan 75^0

BAB VI

PEMBAHASAN

6.1 Hasil Perhitungan dengan Metode Fellinius

Hasil perhitungan dari metode Fellinius yang dianalisis dengan menggunakan program *Excel* dan *Slope/W* dapat dilihat pada tabel berikut:

Tabel 6.1 Nilai *F* dengan program *Excel* menggunakan metode Fellinius

Sudut kemiringan ($^{\circ}$)	R (m)	$\angle AOC$ ($^{\circ}$)	Nilai <i>F</i>				
			6 pias	8 pias	10 pias	12 pias	14 pias
45 $^{\circ}$	6	80,406	1,031	1,069	1,040	1,027	1,027
60 $^{\circ}$	6	80,406	1,171	1,248	1,148	1,279	1,114
75 $^{\circ}$	6	80,406	1,256	1,333	1,335	1,315	1,382
90 $^{\circ}$	6	80,406	1,543	1,548	1,506	1,436	1,551

Tabel 6.2 Nilai *F* dengan program *Slope/W* menggunakan metode Fellinius

Sudut kemiringan ($^{\circ}$)	Nilai <i>F</i>
45 $^{\circ}$	1,258
60 $^{\circ}$	0,974
75 $^{\circ}$	0,775

6.2 Hasil Perhitungan dengan Metode Bishop

Hasil perhitungan dari metode Bishop yang dianalisis dengan menggunakan program *Excel* dan *Slope/W* dapat dilihat pada tabel berikut:

Tabel 6.3 Nilai *F* dengan program *Excel* menggunakan metode Bishop

Sudut kemiringan ($^{\circ}$)	R (m)	$\angle AOC$ ($^{\circ}$)	Nilai <i>F</i>				
			6 pias	8 pias	10 pias	12 pias	14 pias
45 $^{\circ}$	6	80,406	1,166	1,141	1,200	1,160	1,214
60 $^{\circ}$	6	80,406	1,297	1,289	1,287	1,283	1,276
75 $^{\circ}$	6	80,406	1,469	1,480	1,479	1,478	1,437
90 $^{\circ}$	6	80,406	1,724	1,623	1,727	1,587	1,737

Tabel 6.4 Nilai *F* dengan program *Slope/W* menggunakan metode Bishop

Sudut kemiringan ($^{\circ}$)	Nilai <i>F</i>
45 $^{\circ}$	1,305
60 $^{\circ}$	0,988
75 $^{\circ}$	0,756

6.3 Pembahasan Hasil Perhitungan

Dari hasil perhitungan didapat nilai *F* yang dihitung dengan menggunakan metode Bishop lebih besar dari nilai *F* yang dihitung dengan menggunakan metode Fellinius diakibatkan tahanan geser untuk Bishop lebih besar daripada Fellinius, dan tegangan gesernya mempunyai nilai yang sama.

Mencari nilai *F* dengan *Excel* mempunyai nilai lebih besar dari 1, tetapi perhitungan menggunakan *Excel* belum didapat nilai *F* yang optimum karena dihitung dengan menggunakan nilai *R* dan besar sudut AOC yang sama.

Untuk kemiringan lereng yang aman berdasarkan nilai $F > 1$ adalah untuk kemiringan lereng 45^0 dengan menggunakan $Slope/W$, sedangkan untuk sudut $60^0, 75^0$, adalah tidak aman.